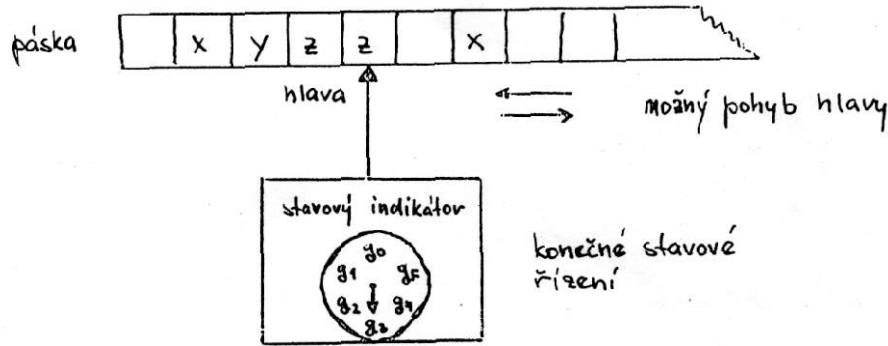


Turingovy stroje a jazyky typu 0

A. Turing 1936 (E. Post 1936)

1. Základní koncepce a definice Turingova stroje



konečné stavové řízení

- historie T. stroje
- Turingova téze

Definice

Turingův stroj M je 6-tice tvaru $M = (Q, \Sigma, \Gamma, \delta, q_0, q_f)$, kde

- Q je konečná množina vnitřních stavů
- Σ je konečná množina (neblankových) symbolů nazývaná strojová (vstupní) abeceda
- Γ je konečná množina, $\Sigma \subseteq \Gamma$, symbolů nazývaná pásková abeceda
- δ je zobrazení:
 $\delta: (Q \setminus \{q_f\}) \times \Gamma \rightarrow Q \times (\Gamma \cup \{L, R\})$, $L, R \notin \Gamma$
- q_0 je počáteční stav
- q_f je konečný stav

Pozn:

$\Delta \in \Gamma$, Δ značí blank $\Delta \notin \Sigma$

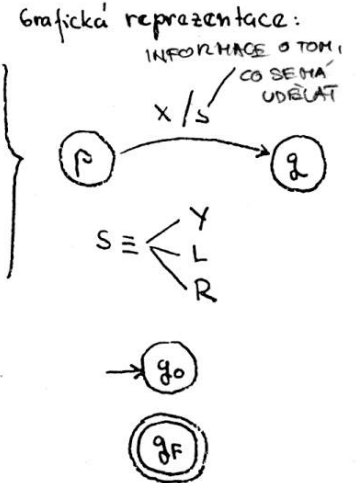
Př. zápisu obsahu pásky: $\Delta x y z z \Delta x \Delta \Delta \dots$

Semantika přechodové funkce δ :

Význam:

- $\delta(p, x) = (q, y)$ operace zápisu $p, q \in Q, x, y \in \Gamma$
 - $\delta(p, x) = (q, L)$ operace posuvu hlavy vlevo
 - $\delta(p, x) = (q, R)$ operace posuvu hlavy vpravo
- počáteční stav q_0
konečný stav q_f

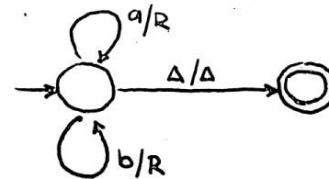
prázdná páska je plná Δ
 $\dots \Delta \Delta \Delta a b c \Delta \Delta \Delta \dots$
 Σ



Zastavení T. stroje

- normální - přechodeni do konečného stavu q_f pro aktuální (p, x) není δ definována
- abnormální < - hlava je na 1. symbolu pásky, akt. stav je p a současně $\delta(p, x) = (q, L)$

Příklad graf. znázornění T. stroje:



T.S. MUSÍ MÍT ALESPŮ 2 STAVY NEMO HU SLOUŽIT KONCOVÝ A POČÁTEČNÍ

T. stroj, který posune hlavy na první symbol Δ vpravo od akt. pozice čtecí hlavy

např. při obsahu pásky:

$\Delta a b a \Delta b a \Delta \dots$

provede

$\Delta a a b \Delta b a \Delta \dots$

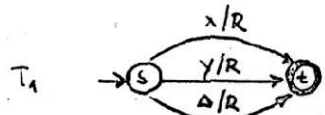
2. Modulární konstrukce T. strojů

Spojovní (kombinace) T. strojů

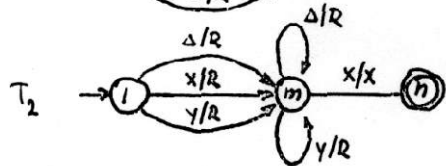
Postupujeme analogicky spojovní diagramů přechodu kon. automatu (viz převod reg. výrazů → kon. automatu)

Budeme uvažovat „sjednocení“ a „konkatenaci“ diagramů T. strojů:

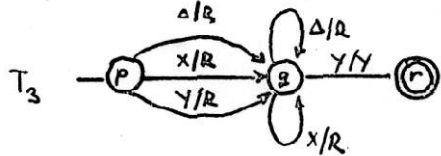
Příklad:



T_1 přeune hlavu o 1 symbol doprava

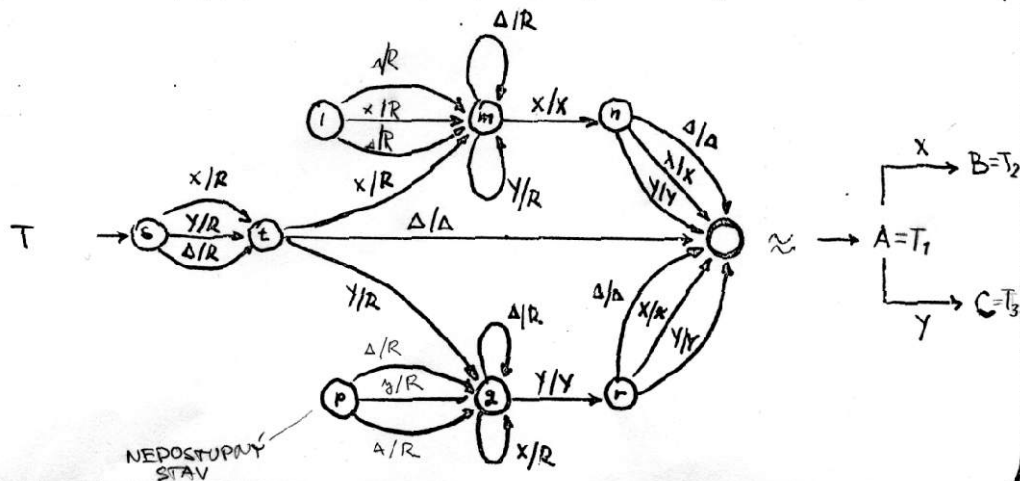


T_2 naleze 1. výskyt symbolu x vpravo (od akt. pozice hlavy)



T_3 naleze 1. výskyt symbolu y vpravo

T naleze 2. výskyt (neblankového) symbolu vpravo od počáteční pozice hlavy



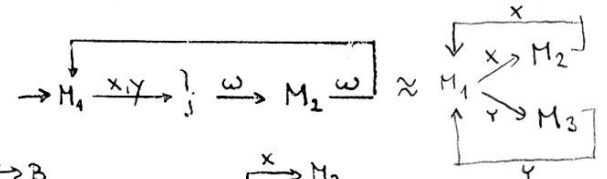
konvence pro zjednodušení diagramů:

1. sekvenci strojů $\rightarrow A \rightarrow B \rightarrow C$ budeme zkracovat na $\rightarrow ABC$

2. „Parametrová“ konvence:

$\frac{x|y|z}{\omega} \rightarrow \omega$ ω nabývá „hodnoty“ toho ze symbolu x, y, z, který byl aktuálním symbolem na pásce

Příklad použití:



3. „vzvětvení“

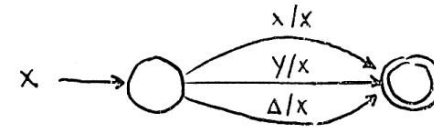
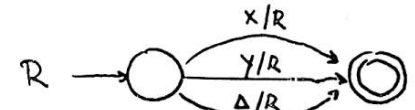
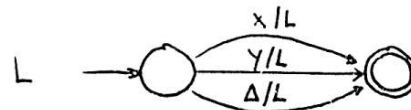


(Rozdíl mezi $M_1 \rightarrow M_2$ a $M_1 \xrightarrow{x} M_2$)

Základní stavební bloky

Stroje L, R, x

$\Gamma = \{x, y, \Delta\}$



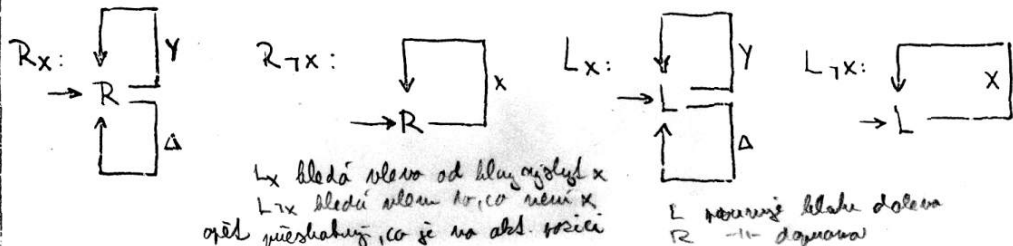
Příklad

$\rightarrow R \rightarrow y \rightarrow L$ nebo zkráceně $\rightarrow RyR$

pásku

$\Delta xyxy\Delta\Delta\Delta\dots$ „transformují“ na $\Delta xyxy\Delta\dots$

Stroje $L_X, L_{\neg X}, R_X, R_{\neg X}$



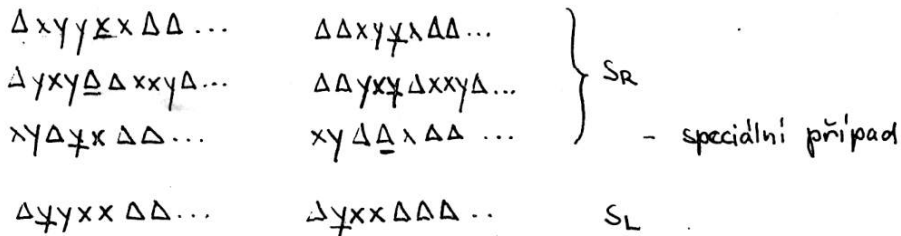
L_X bládá vlevo od hlavy, když X
 $L_{\neg X}$ bládá vlevo Δ , co není X
 opět přesáhne, co je na ab. pásce
 L posune bláhu doleva
 R - doprava

T. stroje S_R a S_L pro posuv (Shift) obsahu pásky

Stroj S_R posune řetěze neblankových symbolů nacházejících se vlevo od aktuál. symbolů o jeden symbol doprava.

Stroj S_L - pracuje symetricky

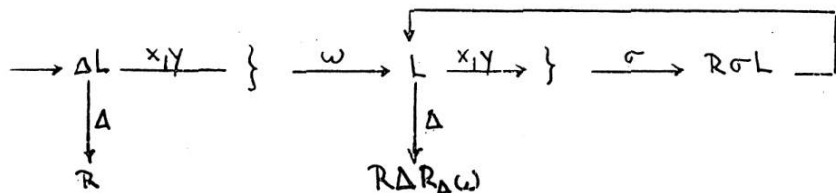
Příklady aktivace těchto strojů:



Realizace stroje S_R :

ZAPAMATUJEME SI ω

V TOUTO CILKU PŘESUNUJEME VĚTVU 1 RŮZEK DOPRAVA KĚŽ PŘÍDE



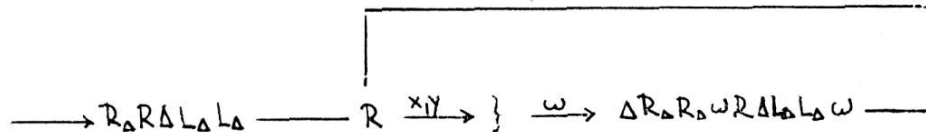
Realizace stroje S_L : analogicky - čtení MÍSTO R BUDE L

Příklady aplikací

a) kopírování řetězce

Stroj provede transformaci

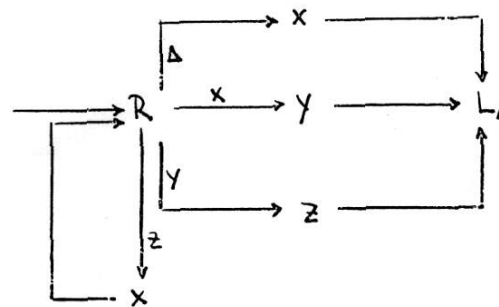
$$\underline{\Delta} \omega \Delta \quad \text{na} \quad \Delta \omega \underline{\Delta} \omega \Delta$$



Př:

- | | |
|--|---|
| 1. $\underline{\Delta} xy\Delta$ ($R_0 R_0 L_0 L_0$) | 5. $\Delta\Delta y\Delta\Delta$ ($\omega R_0 \Delta$) |
| 2. $\underline{\Delta} xy\Delta\Delta$ (R) (ω) | 6. $\Delta\Delta y\Delta x\Delta$ ($L_0 L_0 \omega$) |
| 3. $\Delta x y \Delta \Delta$ ($\omega = x, \Delta$) | 7. $\Delta x y \Delta x \Delta$ |
| 4. $\Delta \underline{\Delta} y \Delta \Delta$ ($R_0 R_0$) | ... |

b) generování řetězci (*)



Stroj generuje následující řetězec v posloupnosti:

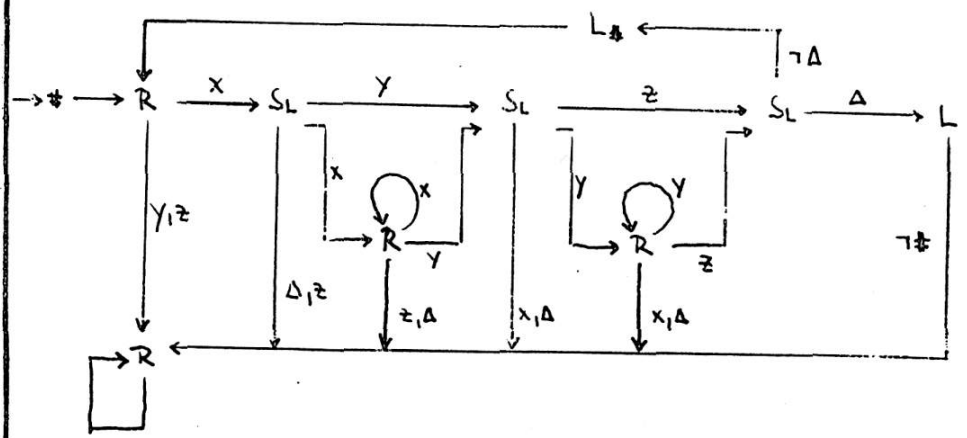
$x, x, y, z, xx, yx, zx, xy, yy, zy, xz, yz, zz, xxx, yxx$

3. Turingovy stroje jako akceptory jazyků.

Definice. Řetězec $w \in \Sigma^*$ je přijat T. strojem $M = (Q, \Sigma, \Gamma, \delta, q_0, q_f)$,
 jestliže se při aktivaci M z počáteční konfigurací pásky: $\Delta w \Delta \dots$
 a poč. stavu q_0 stroj M zastaví (přejde do stavu q_f).

Množinu $L(M) = \{w \mid w \text{ je přijat T. strojem } M\}$ nazýváme
jazyk přijímaný T. strojem M .

Příklad



T. stroj M , pro který $L(M) = \{x^n y^n z^n \mid n \in \mathbb{N}\}$

(M provádí opakovaně redukce

$$x^n y^n z^n \rightarrow x^{n-1} y^{n-1} z^n \rightarrow x^{n-1} y^{n-1} z^{n-1}$$

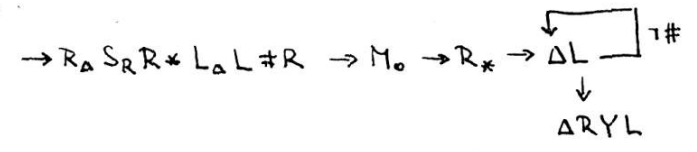
a končí zredukováním vs. řetězce na prázdný řetězec)

$\# \in \Gamma$ - marker označující levý konec pásky

Alternativní způsob definice přijetí řetězce:

$$\Delta w \Delta \Delta \rightarrow \Delta Y \Delta \Delta \quad Y \in \Gamma$$

Realizace:



M_0 je T. stroj přijímající řetězce 1. způsobem; začíná pracovat
 s páskou tvaru: $\# \Delta w * \Delta \Delta$

Vícepáskové Turingovy stroje

Uvažujme T. stroj, který má k -pásek a k odpovídajících hlav.
 s přechodovou funkcí δ

$$\delta: (Q \setminus \{q_f\}) \times (\Gamma_1 \times \Gamma_2 \times \dots \times \Gamma_k) \rightarrow Q \times (\Gamma_i \cup \{L, R\}) \times \{1, \dots, k\}$$

$\Gamma_1, \dots, \Gamma_k$ - abecedy páskových symbolů, $i \in \{1, \dots, k\}$

VĚTA:

Pro každý k -páskový T. stroj M existuje jednopáskový
 T. stroj M' takový, že $L(M) = L(M')$.

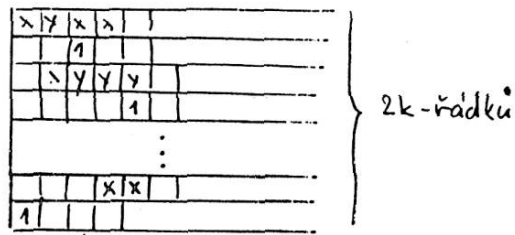
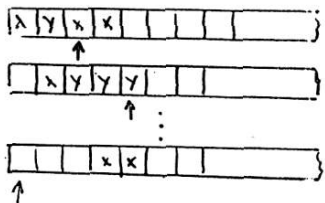
Důkaz: (zák. myšlenka)

Budeme simulovat činnost automatu M ekvivalentním
 jednopáskovým automatem M' .

Nejprve reprezentujeme ^{informaci} o stavu pásek a pozici čtecích hlav

2k-ticemi, které budou tvořit nové páskové symboly automatu M' .

k-pásek

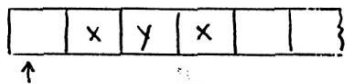


nové páskové symboly

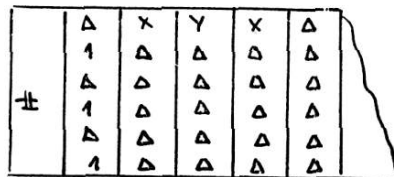
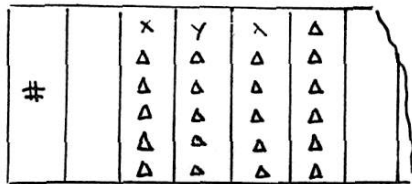
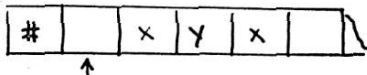
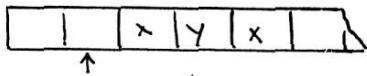
lichý index: obsah pův. pásek
sudý index: pozice hlavy

Předpokládáme, že vícepáskový automat M měl přijímaný řetězec umístěn na 1. pásku, obsah ostatních pásek byl blankový, hlavy na 1. pozici

a) automat M' provede nejprve konverzi 1. pásky do $2k$ -tic reprezentujících počáteční obsah pásky automatu M :



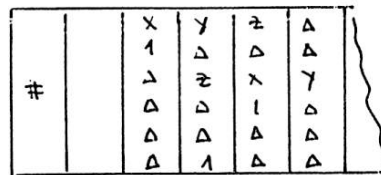
ilustrujeme pro $k=3$



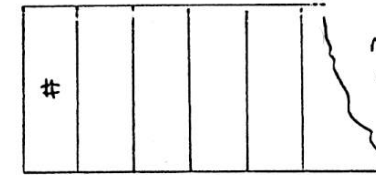
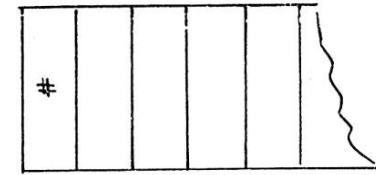
b) Nyní konstruujeme přech. funkci automatu M' , která pracuje se „složenými“ stavy $(p, x_1, x_2, \dots, x_k)$ korespondujícími s konfigurací stroje M

simulaci podle této funkce ilustrujeme na příkladě.

Posoupnost přechodů automatu M' ekvivalentní posuvu 2. hlavy vpravo ($k=3$).



nezměněný obsah



nezm. obsah

Závěr: zvětšením paměť. možnosti T. stroje nerozšíříme jeho schopnosti přijímat jazyky.

Nedeterministické Turingovy stroje

Definice Turingův stroj $M = (Q, \Sigma, \Gamma, \delta, q_0, q_f)$ se nazývá nedeterministickým T. strojem, jestliže δ má tvar

$$\delta: (Q \setminus \{q_f\}) \times \Gamma \rightarrow 2^{Q \times (\Gamma \cup \{L, R\})}$$

VĚTA

Pro každý nedeterministický T. stroj M existuje deterministický T. stroj D takový, že $L(M) = L(D)$.

Důkaz.

Nedeterministický T. stroj M budeme simulovat deterministickým

3-páskovým T. strojem takto:

Účel pásek stroje M':

- Pásky 1. - bude obsahovat přijímaný vst. řetězec
- 2. - pracovní pásky; obsahuje kopii pásky 1; po indikaci neúspěšné volby přechodů bude její obsah obnovován
- 3. - obsahuje kódovanou volbu posloupnosti přechodů; při neúspěchu bude nahrazena novou posloupností

Dopl. pozn.: - Řetězec na 2. páске je ohraničen z obou stran sp. markery
 - zvolená posl. přechodů je kódována posloupností čísel přiřazených hranám stroje M; generátor nové posloupnosti lze realizovat T. podstrojem z předchozího příkladu (*).

algoritmus simulace:

1. Okopíruj obsah 1. pásky na 2. pásku
2. Generuj příští posloupnost přechodů na pásku 3
3. Simuluj tuto posloupnost s využitím pásky 2
4. Vede-li tato posloupnost do konc. stavu stroje M, zastav - vst. řetězec je přijat. V opačném případě smaž obsah pásky 2 a vrať se ke kroku (1).

zdvěr:

4. Jazyky přijímané T. stroji a jazyky typu 0

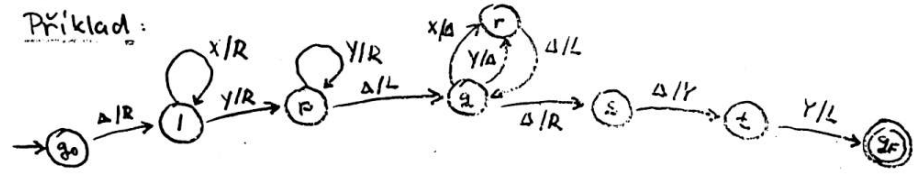
názvosloví: jazyky typu 0 (neomezené jazyky), frázově strukturované jazyky

Konfigurace T. stroje:

Je dána (1) stavem kon. řízení, (2) obsahem pásky, (3) pozicí hlavy

Konvence: $p, p \in Q \wedge \Delta x \neq x \Delta \dots$ zapisujeme jako konfiguraci $[\Delta x p x \Delta]$ případně $[\Delta x p x \Delta \Delta]$ atd.

Příklad:



Kostra T. stroje přijímajícího jazyk $\{x^m y^n \mid m \geq 0, n > 0\}$

Posloupnost konfigurací při přijetí řetězce xy :

- | | | |
|--------------------------------|--------------------------------|-----------------------------|
| 1. $[q_0 \Delta x x y \Delta]$ | 6. $[\Delta x x q_2 y \Delta]$ | 11. $[\Delta r \Delta]$ |
| 2. $[\Delta l x x y \Delta]$ | 7. $[\Delta x x r \Delta]$ | 12. $[q \Delta]$ |
| 3. $[\Delta x l x y \Delta]$ | 8. $[\Delta x q x \Delta]$ | 13. $[\Delta s \Delta]$ |
| 4. $[\Delta x x l y \Delta]$ | 9. $[\Delta x r \Delta]$ | 14. $[\Delta t y \Delta]$ |
| 5. $[\Delta x x y p \Delta]$ | 10. $[\Delta q x \Delta]$ | 15. $[q_f \Delta y \Delta]$ |

NĚTA

Každý jazyk přijímaný T. strojem je jazykem typu 0.

Důkaz:

Sestrojíme gramatiku typu 0, která vytváří derivaci odpovídající reverzi posloupnosti konfigurací, která vede k přijetí vst. řetězce.

Nechť $G = (N, \Sigma, P, S)$ je předpokládaná gramatika

(1) $N = \{S\} \cup \{Q\} \cup \{P\} \cup \{\Gamma, \Delta\}$ S bude startovací nonterminál

(2) Pravidla gramatiky:

(a) $S \rightarrow [g\Gamma\Delta Y\Delta]$

(b) $\Delta] \rightarrow \Delta\Delta$ umožňuje rozvinout řetězec $[g\Gamma Y\Delta]$ na požadovanou délku

(c) $gY \rightarrow pX$ jestliže $\mathcal{J}(p, X) = (g, Y)$

(d) $Xg \rightarrow pX$ - - - $\mathcal{J}(p, X) = (g, R)$

(e) $gYX \rightarrow YpX$ pro každý páskový symbol Y , jestliže $\mathcal{J}(p, X) = (g, L)$

(f) $\left. \begin{array}{l} [g_0\Delta \rightarrow \epsilon \\ \Delta\Delta] \rightarrow \Delta] \\ \Delta] \rightarrow \epsilon \end{array} \right\}$ umožňuje odstranit symboly g_0, Γ, Δ a Δ

$L(M) = L(G) + j.$

$w \in L(M) \iff \exists \text{ derivace } S \Rightarrow [g\Gamma\Delta Y\Delta] \Rightarrow \dots [g_0\Delta w\Delta] \Rightarrow w\Delta \Rightarrow w$

VĚTA

Každý jazyk typu 0 je jazykem přijímaným T. strojem

Důkaz:

Nechť $L = L(G)$ je jazyk typu 0. Sestrojíme nedeterministický

2-páskový T. stroj N takový, že $L(G) = L(N)$

Základní akce: simulace použití přepisovacího pravidla tvaru $\alpha \rightarrow \beta$

Děka 1. - obsahuje testování vst. řetězce

- - - 2. - vytváří se derivace tohoto řetězce substitucemi $\alpha \rightarrow \beta$ (na počátku obě S)

Rozsah jazyků typu 0

VĚTA

Pro každou abecedu Σ existuje jazyk nad touto abecedou, který není jazykem typu 0.

Důkaz:

1. Nejdříve pochopíme, že lib. jazyk typu 0 nad abecedou Σ může být přijat T. strojem M , jehož symboly na páse patří do množiny $\Sigma \cup \{A\}$.

(Pokud M pracuje s více symboly, pak tyto symboly zakódujeme jako posloupnosti symbolů $\lambda \in \Sigma$ a sestrojíme automat M' , s $\Gamma = \Sigma \cup \{A\}$, který simuluje automat M

2. Nyní můžeme systematicky „vypisovat“ všechny T. stroje s páskovými symboly z množiny $\Sigma \cup \{A\}$:

začneme ^{ví} stroji se 2 stavy, pokračujeme vš. stroji se 3 stavy, 4 stavy atd.

Závěr: množina všech takových strojů a tudíž i jazyků typu 0 je spočetná

3. Množina Σ^* obsahuje nekonečně mnoho řetězců a proto je množina 2^{Σ^*} všech jazyků nespočetná (viz Cantorův důkaz nespočetnosti mn. reálných čísel - diagonalizace)

Budeme předpokládat, že množina všech jazyků nad ab Σ je spočetná.

Pak existuje bijekce f

$$f: \mathbb{N} \rightarrow 2^{\Sigma^*}$$

Pokusme se tuto bijekci zobrazit nekonečnou maticí takto:

(Předpokl., že $\Sigma = \{x, y, z\}$)

	ϵ	x	y	z	xx	xy	xz	\dots	xxx	xyx	\dots
$f(1)$	a_{11}	a_{12}	a_{13}	\dots					a_{1i}	a_{1i+1}	\dots
$f(2)$	a_{21}	a_{22}	a_{23}	\dots					a_{2i}	a_{2i+1}	\dots
$f(3)$	a_{31}	a_{32}	a_{33}	\dots							
\vdots											
$f(k)$	a_{k1}	a_{k2}	\dots			a_{kk}	\dots		a_{ki}	a_{ki+1}	\dots
\vdots											

Jazyk $L_n = f^{-1}(n)$ je zakódován binárním vektorem (nekonečným) tvaru

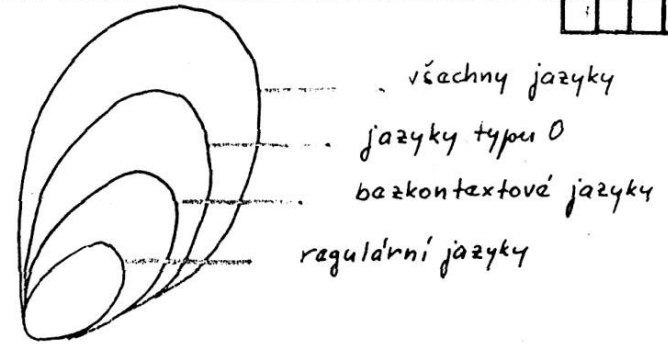
$$(a_{n1}, a_{n2}, a_{n3}, \dots) \text{ kde } a_{nj} = \begin{cases} 0 & \text{pokud } j\text{-tý řetězec neleží v } L_n \\ 1 & \text{pokud } j\text{-tý řetězec leží v } L_n \end{cases}$$

Nyní uvažujme jazyk

$$\tilde{L} = (\tilde{a}_1, \tilde{a}_2, \tilde{a}_3, \dots) \text{ kde } \tilde{a}_i = \begin{cases} 0 & \text{pokud } a_{ii} = 1 \\ 1 & \text{pokud } a_{ii} = 0 \end{cases}$$

\tilde{L} se liší od každého jazyka $f(n), n \in \mathbb{N}$, přitom $\tilde{L} \in 2^{\Sigma^*}$ tedy f není surjektivní a není tudíž hledanou bijekcí.

Závěr:



Důsledky Turingovy téze:

1. Jazyky bez gramatického základu nemohou být rozpoznatelné žádným algoritmickým procesem.
2. Mohou existovat systémy pro porozumění přirozenému jazyku?
3. Mohou existovat opravdu inteligentní stroje?
(Přirozená versus umělá inteligence)

5. Jazyky mimo rozsah frázeově strukturovaných jazyků

Kódovací systém pro Turingovy stroje

zahrnuje kódování:

- (1) stavů
- (2) symbolů z Γ a symbolů L, R
- (3) přechodové funkce δ

Výsledkem bude binární řetězec reprezentující celý T. stroj.

kódování stavů:

Množinu stavů Q uspořádáme: $Q = \{q_0, q_f, q_i, p_1, r, s, \dots, t\}$
j-tý stav kódujeme řetězcem 0^j

t.j.: $q_0 \approx 0, q_f \approx 00, 5\text{-tý stav} \approx 00000$

kódování symbolů

(předpokládáme páskové symboly $\in \Sigma \cup \{\Delta\}$)

18

- opět uspořádáme ab. $\Sigma = \{a_1, a_2, \dots, a_n\}$ a zvolíme tyto kódy

$$\Delta \approx a \text{ (pr. řetězec)}$$

$$L \approx 0$$

$$R \approx 00$$

$$a_i \approx 0^{i+2} \quad i=1, \dots, n$$

kódování přechodů:

$$\text{přechod } \delta(p, x) = (q, y) \quad y \equiv \begin{cases} x \in \Gamma \\ L \\ R \end{cases}$$

reprezentujeme čtveřicí

(p, x, q, y) a kódujeme zřetěžením kódů

p, x, q, y a symbolu 1 v roli separátoru:

„kód p“ „kód x“ „kód q“ = „kód y“

Příklad

Přechod $\delta(q_0, x) = (q_F, R)$ kde kód x je 000 bude zakódován řetězcem 01000100100

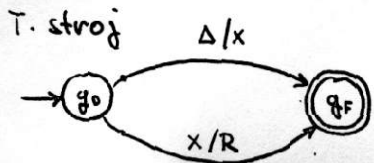
$$\delta(q_0, \Delta) = (q_F, \Delta) \approx 011001$$

kódování celého T. stroje

zřetěžením posloupnosti všech přechodů (v syst. pořadí) a symbolu 1:

„kód 1. přechodu“ „kód 2. přechodu“ ... „kód m-tého přechodu“ 1

Příklad:



Jeho kód:

10110010001010001001001

Příklad jazyka, který není přijíman T. strojem

19

zavedený kódovací systém nám umožňuje zobrazit každý T. stroj jako binární číslo, opak však neplatí.

Uvažujme nyní třídu \mathcal{T} všech T. strojů se ust. abecedou Σ a páskovou abecedou $\Sigma \cup \{\Delta\}$ a zobrazení

$$\gamma: \mathbb{N} \rightarrow \mathcal{T}$$

takové, že

$$\gamma(n) = \begin{cases} T & \text{prvň když binární zápis čísla } n \text{ je kódem stroje } T \\ \bar{T} & \text{jinak; } \bar{T} \text{ je triviální T. stroj} \end{cases}$$



- γ je zřejmě surjektivní zobrazení

Vytvoříme nyní jinou funkci $g: \Sigma^* \rightarrow \mathcal{T}$ takovou, že pro lib $w \in \Sigma^*$

$$g(w) = \gamma(|w|) \equiv M_w$$

(|w|)

t.j. funkci, která k řetězci w přiřadí T. stroj, jehož kódem je b. číslo shodnou s $|w|$. g je opět surjektce.

Protože symboly w i abecedy M_w jsou shodná, má smysl aplikovat stroj M_w na řetězec w . Definujme jazyk L_0 takto:

$$L_0 = \{w \mid M_w \text{ nepřijímá řetězec } w\}$$

Ukážeme, že jazyk L_0 nemůže být přijíman žádným T. strojem. Budeme postupovat tak, že předpokládáme opak, t.j. $\exists T_0 \in \mathcal{T}$, tak, že $L_0 = L(T_0)$.

Pak také existuje $w_0 \in \Sigma^*$ tak, že $L_0 = L(M_{w_0})$. ($T_0 \equiv M_{w_0}$)

Nyní se ptáme, zda $w_0 \in L(M_{w_0})$. Buď platí (a) $w_0 \in L(M_{w_0})$, nebo (b) $w_0 \notin L(M_{w_0})$. Z definice L_0 plyne:

$$w_0 \in L(M_{w_0}) \Rightarrow w_0 \notin L_0 \text{ a } w_0 \notin L(M_{w_0}) \Rightarrow w_0 \in L_0. \text{ Protože } L_0 = L(M_{w_0})$$

jsou obě implikace sporné a tudíž $L_0 \notin \mathcal{L}_0$.

Universální Turingovy stroje

Je to koncept „programovatelného“ stroje, který umožňuje ve tvaru vstupního řetězce specifikovat konkrétní T. stroj i data, nad nimiž má tento konkrétní stroj pracovat.

Pro specifikaci T. stroje využijeme jeho binární zakódování z předch. odstavce. Ve stejném duchu budeme kódovat i vstupní řetězec, který má být zpracováván:

100001000100001

kódy symbolů

Celý „problém“ je pak zadán zřetězením kódu stroje a kódu dat, např.:

101100100010100010010011000100010001

1. přechod

2. přechod

symboly

kódovaný stroj

kódovaná data

Universální T. stroj, který zpracuje toto zadání může být navržen jako

3-páskový T. stroj takto:

- 1. pásk - program + data (+ vstupní data)
- 2. pásk - pracovní pásk
- 3. pásk - registruje stav stroje, který je simulován (stav programu)

Víme, že k takovému stroji můžeme sestavit ekvivalentní 1-páskový Turingův stroj. Označme tento 1-páskový T. stroj symbolem T_U .

Jazyky přijatelné versus rozhodnutelné Turingovy stroji

Schopnost T. stroje přijmout jazyk není symetrická se schopností nepřijmout jeho komplement. S pomocí univerzálního T. stroje ukážeme tento fakt na příkladě jazyka L_0 ; zkonstruuje se T. stroj, který přijímá komplement jazyka L_0 :

Nejprve vytvoříme stroj M_w , který pro každý řetězec $w \in \Sigma^*$

- vytvoří b. číslo $\approx^{-1}(g(w))$, t.j. kód automatu M_w
- zřetězí tento kód a kódem řetězce w

Tak vytvoříme složení T. strojů $\rightarrow M_w \rightarrow T_U$

Výsledný stroj přijímá jazyk L_1 .

$$L_1 = \{w \mid M_w \text{ přijímá řetězec } w\} = \bar{L}_0$$

To tedy znamená, že existují jazyky přijímané T. strojem, pro které nelze sestavit T. stroj, který končí zprávou „Y“ pro lib. $w \in L$ a zprávou „N“ pro v. $w \notin L$. Tyto jazyky se nazývají jazyky přijatelné (acceptable) T. strojem (jazyky, pro které lze takový T. stroj sestavit se nazývají jazyky rozhodnutelné (decidable) T. strojem, či krátce rozhodnutelné jazyky).

Příklady

- Jazyk L_1 je přijatelný T. strojem, ne však rozhodnutelný
- Bezkontextové jazyky jsou rozhodnutelné jazyky.
- Jazyk $L = \{x^n y^n z^n \mid n \in \mathbb{N}\}$ je rozhodnutelný

(V uvedeném diagramu T. stroje pro tento jazyk nahradíme stroj $\square \xrightarrow{R}$ strojem $\rightarrow L_{\#} \rightarrow RNLA$).

Terminologická poznámka:

2 2

Jazyky přijatelné T. strojem se nazývají také jazyky rekurzivně vyčísitelné (recursively enumerable languages)

Jazyky rozhodnutelné T. strojem také jazyky rekurzivní jazyky (recursive languages).

Problém zastavení T. stroje

Dokážeme klasický nerozhodnutelný problém T. stroje nazývaný problém zastavení (Halting problem)

Předpokládejme, že abecedy T. stroje jsou binární t.j. $\Sigma = \{0,1\}$, $\Gamma = \{0,1,A\}$ a označme kódovanou verzi T. stroje M symbolem $\sigma(M)$. $\sigma(M)$ je b. řetězec, na který může být aplikován T. stroj M ($\sigma(M)$ dáme na vstup stroje M). Zajímá nás, zda se T. stroj M pro vstupní řetězec $\sigma(M)$ zastaví (M je self-terminating), nebo ne (M je nonselfterminating).

Nyní definujme jazyk L_F nad abecedou $\Sigma = \{0,1\}$ takto

$$L_F = \{ \sigma(M) \mid M \text{ je selfterminating} \}$$

Problém zastavení je takto formulován jako problém rozhodnutelnosti jazyka L_F . Jazyk L_F je bohužel nerozhodnutelný T. strojem, což dokážeme, podobně jako v případě jazyka L_0 , sporem.

Předpokládejme tedy, že existuje T. stroj, označme ho jako M_F , který rozhoduje jazyk L_F . Nyní modifikujme stroj M_F tak, že modifikovaný T. stroj M'_F dá na výstup 0, resp. 1, právě když stroj M_F dá zprávu N, resp. Y. M'_F má takto páskovou abecedu $\{0,1,A\}$ a může být použit k vytvoření stroje

$$M_0 : \rightarrow M'_F \rightarrow R \xrightarrow{1} R \rightarrow R$$

2 3

Stroj M_0 se zastaví právě když M'_F dosáhne koncový stav s výstupem 0.

Nyní položím otázku, zda je stroj M_0 selfterminating. Pokud je L_F rozhodnutelný jazyk, pak existuje odpověď ANO, nebo NE a žádná jiná možnost.

a) Předpokládejme, že M_0 je selfterminating. Pak pro vstup $\sigma(M_0)$ stroj M'_F zastaví s výstupem 1 a stroj M_0 přejde po hraně $R \xrightarrow{1} R$ a nezastaví se. Tedy, M_0 je selfterminating $\Rightarrow M_0$ je nonselfterminating"

b) Předpokládejme, že M_0 je nonselfterminating. Pak pro vstup $\sigma(M_0)$ se stroj M'_F zastaví s výstupem 0 a stroj M_0 se zastaví. Tedy, M_0 není selfterminating $\Rightarrow M_0$ je selfterminating"

Inkonzistence obou implikací nás vede k závěru, že předpoklad, že L_F je rozhodnutelný T. strojem je mylný a tedy problém zastavení T. stroje je nerozhodnutelný.

Postův problém přiřazení

Definice: Postův systém nad abecedou $\Sigma = \{a, b\}$ je dan množinou uspořádaných dvojic $(\alpha_i, \beta_i), i = 1, 2, \dots, k$ řetězců nad abecedou $\Sigma, k \geq 1$.

$$S = \{(\alpha_1, \beta_1), (\alpha_2, \beta_2), \dots, (\alpha_k, \beta_k), k \geq 1$$

Rěšením Postova systému je každá neprázdná posloupnost přirozených čísel

i_1, i_2, \dots, i_m ($i_j \leq k$) taková, že

$$\alpha_{i_1} \alpha_{i_2} \dots \alpha_{i_m} = \beta_{i_1} \beta_{i_2} \dots \beta_{i_m}$$

Postův problém přiřazení zní: Existuje pro daný (libovolný) Postův systém řešení?

VĚTA: Postův problém přiřazení je nerozhodnutelný.

Příklady: 1. Uvažujme Postův systém nad abecedou $\{a, b\}$:

$$S = \{(b, bbb), (babbb, ba), (ba, a)\}$$

Tento systém má řešení $i_1 = 2, i_2 = 1, i_3 = 1, i_4 = 3$ (tedy $m = 4$):

$$\underline{babbb}, \underline{ba}, \underline{ba}, \underline{ba} = \underline{ba}, \underline{bbb}, \underline{bbb}, \underline{a}$$

$\alpha_2 \quad \alpha_1 \alpha_1 \alpha_3 \quad \beta_2 \beta_1 \beta_1 \beta_3$

2. Naopak Postův systém $S = \{(ab, abb), (a, ba), (b, bb)\}$ nemá řešení protože $|\alpha_i| < |\beta_i|$ pro $i = 1, 2, 3$ □

(se používá)

Postův problém přiřazení k důkazu nerozhodnutelnosti důležitých problémů:

1. Problém ekvivalence bezkontextových gramatik
2. Problém neprázdnosti jazyka generovaného kontextovou gramatikou
3. Problém derivace věty v gramatice typu 0

Vyčíslitelnost - Computability

- Operační přístup x Funkcionální přístup
- Churchova téze

Základy teorie rekurzivních funkcí

Budeme se snažit identifikovat takové funkce, které jsou „spočítatelné“, t.j. vyčíslitelné v obecném smyslu (bez ohledu na konkrétní výpočetní systém). Abychom snížili extrémní velikost třídy těchto funkcí, která je dána také variací definičních oborů a oborů hodnot, omezíme se, uvažujíc možnost kódování, na funkce tvaru:

$$f: \mathbb{N}^m \rightarrow \mathbb{N}^n$$

kde $\mathbb{N} = \{0, 1, 2, \dots\}, m, n \in \mathbb{N}$

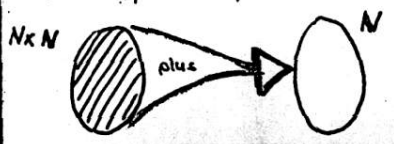


Příklad:

Totální funkce

plus: $\mathbb{N} \times \mathbb{N} \rightarrow \mathbb{N}$

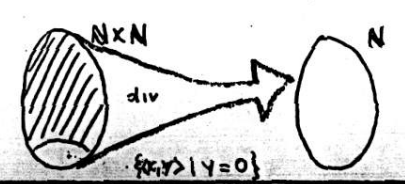
plus(x, y) = x + y



Striktně parciální funkce:

div: $\mathbb{N} \times \mathbb{N} \rightarrow \mathbb{N}$

div(x, y) = celá část x/y, je-li y ≠ 0



Konvence:

n -tici $(x_1, x_2, \dots, x_n) \in \mathbb{N}^n$ budeme označovat jako \bar{x}

Počáteční funkce

Hierarchie vyčíslovatelných funkcí je založena na dostatečně elementárních tzv. počátečních funkcích, tvořících „stavební kameny“ vyšších funkcí.

Jsou to tyto funkce:

1. Nulová funkce (zero function)

$$f() = 0$$

zobrazuje „prázdnou n -tici“ $\mapsto 0$

2. Funkce následníka (Successor function)

$$\sigma: \mathbb{N} \rightarrow \mathbb{N}; \quad \sigma(x) = x + 1$$

3. Projekce

$$\pi_k^n: \mathbb{N}^n \rightarrow \mathbb{N}$$

Vybírá z n -tice k -tou složku, např.:

$$\pi_2^3(7, 6, 4) = 6, \quad \pi_1^2(5, 17) = 5$$

Speciální případ: $\pi_0^n: \mathbb{N}^n \rightarrow \mathbb{N}^0$ t.j. např. $\pi_0^3(1, 2, 3) = ()$

Primitivně rekurzivní funkce

Nyní definujeme 3 způsoby vytváření nových, složitějších funkcí:

1. Kombinace

Kombinací dvou funkcí $f: \mathbb{N}^k \rightarrow \mathbb{N}^m$ a $g: \mathbb{N}^k \rightarrow \mathbb{N}^n$ získáme funkci

$$f \times g: \mathbb{N}^k \rightarrow \mathbb{N}^{m+n}$$

$$\text{pro kterou } f \times g(\bar{x}) = (f(\bar{x}), g(\bar{x}))$$

$$\text{Např.: } \pi_1^3 \times \pi_3^3(4, 12, 8) = (4, 8)$$

2. Kompozice

Kompozice dvou funkcí $f: \mathbb{N}^k \rightarrow \mathbb{N}^m$ a $g: \mathbb{N}^m \rightarrow \mathbb{N}^n$ je funkce,

$$f \circ g: \mathbb{N}^k \rightarrow \mathbb{N}^n$$

$$\text{pro kterou } f \circ g(\bar{x}) = g(f(\bar{x})) \quad \bar{x} \in \mathbb{N}^k$$

$$\text{Např.: } \sigma \circ f() = 1, \quad \sigma \circ \sigma \circ f() = 2$$

3. Primitivní rekurze

Příklad: Předpokládejme, že chceme definovat funkci $f: \mathbb{N}^2 \rightarrow \mathbb{N}$, jejíž hodnoty $f(x, y)$ udávají počet vrcholů x -armního stromu hloubky y , který je pravidelný (úplný):



$$\text{zřejmě (a) } f(x, 0) = 1$$

(b) Strom hloubky n má x^n listů; zvětšením hloubky o jedničku na $y+1$ musíme přidat $x^{y+1} = x^y \cdot x$ vrcholů

Takže funkci f můžeme definovat násled. předpisem:

$$f(x, 0) = x^0$$

$$f(x, y+1) = f(x, y) + x^y \cdot x$$

(Např. $f(3, 2) = 13$)

Primitivní rekurze je technika, která umožňuje vytvořit funkci f

$$f: \mathbb{N}^{k+1} \rightarrow \mathbb{N}^m$$

na základě jiných dvou funkcí g a h ; $g: \mathbb{N}^k \rightarrow \mathbb{N}^m$, $h: \mathbb{N}^{k+m+1} \rightarrow \mathbb{N}^m$

rovnícemi

$$\begin{cases} f(\bar{x}, 0) = g(\bar{x}) \\ f(\bar{x}, y+1) = h(\bar{x}, y, f(\bar{x}, y)) \end{cases}, \bar{x} \in \mathbb{N}^k$$

Ilustrace schématu vyčíslení:

$$\begin{aligned} f(\bar{x}, 3) &= h(\bar{x}, 2, f(\bar{x}, 2)) \\ &\swarrow \quad \searrow \\ f(\bar{x}, 2) &= h(\bar{x}, 1, f(\bar{x}, 1)) \\ &\swarrow \quad \searrow \\ f(\bar{x}, 1) &= h(\bar{x}, 0, f(\bar{x}, 0)) \\ &\swarrow \quad \searrow \\ f(\bar{x}, 0) &= g(\bar{x}) \end{aligned}$$

Příklad

Uvažujme funkci plus: $\mathbb{N}^2 \rightarrow \mathbb{N}$. Může být definována pomocí primitivní rekurze takto:

$$\text{plus}(x, 0) = \pi_1^1(x)$$

$$\text{plus}(x, y+1) = \sigma \circ \pi_3^3(x, y, \text{plus}(x, y))$$

což vyjadřuje:

(1) $x+0 = x$

(2) $x+(y+1) = \text{následník } x+y$

□

Definice:

Třída primitivních rekurzivních funkcí obsahuje všechny funkce, které mohou být z počátečních funkcí vytvořeny kombinací, kompozicí a pr. rekurzí.

Věta:

Každá primitivní rekurzivní funkce je totální funkce.

D. Poč. funkce jsou totální; aplikací kombinací, kompozicí i pr. rekurze na totální funkce dostaneme totální funkce.

Příklady primitivně rekurzivních funkcí

Třída pr. funkcí zahrnuje většinu funkcí typických v aplikacích počítačů

Konvence: Namísto funkcionálních zápisů typu

$$h \equiv \text{plus} \circ (\pi_1^3 \times \pi_3^3)$$

budeme někdy používat standard. zápisy $h(x, y, z) = \text{plus}(x, z)$ nebo $h(x, y, z) = x+z$

Konstantní funkce

Zavedeme funkci K_m^n , která lib. n -tici $\bar{x} \in \mathbb{N}^n$ přiřadí konst. hodnotu $m \in \mathbb{N}$

$$K_m^0 \equiv \underbrace{\sigma \circ \sigma \circ \dots \circ \sigma}_m$$

Také pro $n > 0$ je K_m^n funkce rek. primitivní:

$$K_m^n(\bar{x}, 0) = K_m^{n-1}(\bar{x})$$

$$K_m^n(\bar{x}, y+1) = \pi_{n+1}^{n+1}(\bar{x}, y, K_m^n(\bar{x}, y))$$

Např.: $K_3^2(1, 1) = \pi_3^3(1, 0, K_3^2(1, 0)) = K_3^2(1, 0) = K_3^1(1) = K_3^1(0) = K_3^0(1) = 3$

Kombinací funkcí K_m^n dostáváme konstanty z \mathbb{N}^n , $k > 1$

Např. $K_1^3 \times K_5^2(x, y, z) = (2, 5)$

Násobení

$$\text{mult}(x, 0) = K_0^1(x)$$

$$\text{mult}(x, y+1) = \text{plus}(x, \text{mult}(x, y))$$

Umocňování

exp: $\mathbb{N}^2 \rightarrow \mathbb{N}$ - analogicky - cvičení

Funkce předchůdce

$$\text{pred}(0) = f()$$

$$\text{pred}(y+1) = \Pi_1^2(y, \text{pred}(y))$$

Pozn.: pred je totální f., pred(0) = 0

Funkce monus

$$\text{monus}(x, 0) = \Pi_1^1(x)$$

$$\text{monus}(x, y+1) = \text{pred}(\text{monus}(x, y))$$

Všeobecně: $\text{monus}(x, y) = \begin{cases} x-y & \text{je-li } x \geq 0 \\ 0 & \text{jinak} \end{cases}$

$$\boxed{\text{monus}(x, y) \equiv x \dot{-} y}$$

Funkce eq

$$\text{eq}(x, y) = \begin{cases} 1 & \text{if } x=y \\ 0 & \text{if } x \neq 0 \end{cases}$$

Definice:

$$\text{eq}(x, y) = 1 \dot{-} ((y \dot{-} x) + (x \dot{-} y))$$

nebo formálněji:

$$\text{eq} \equiv \text{monus} \circ (K_1^2 \times (\text{plus} \circ ((\text{monus} \circ (\Pi_2^2 \times \Pi_1^2)) \times \text{monus} \circ (\Pi_1^2 \times \Pi_2^2))))$$

Příklad:

$$\text{eq}(5, 3) = 1 \dot{-} ((3 \dot{-} 5) + (5 \dot{-} 3)) = 1 \dot{-} (0 + 2) = 1 \dot{-} 2 = 0$$

Funkce $\neg \text{eq}$

$$\neg \text{eq} \equiv \text{monus} \circ (K_1^2 \times \text{eq}) \quad (\equiv 1 \dot{-} \text{eq})$$

Tabulární funkce

Uvažujeme funkce typu

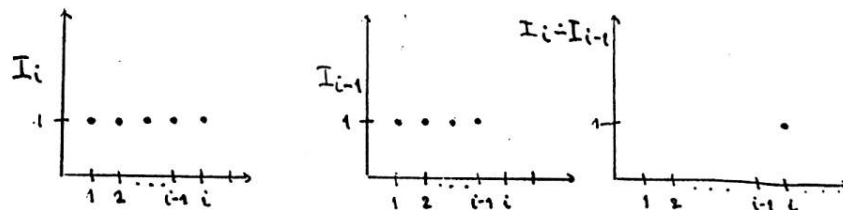
$$f(x) = \begin{cases} 3 & \text{je-li } x=0 \\ 5 & \text{je-li } x=4 \\ 2 & \text{v ostatních případech} \end{cases}$$

kteří bývají zadávány tabulkou. Tyto funkce lze tvořit pomocí charakt. funkce

$$\varphi_i(x) = \begin{cases} 1 & \text{je-li } x=i \\ 0 & \text{jinak} \end{cases}$$

kteřá může být vyjádřena jako monus (I_i, I_{i-1}) , kde

$$I_i(x) = \text{eq}(x-i, 0)$$



Tabulární funkce mohou být nyní tvořeny konečným součtem násobků

konstant, funkcí φ_i a $\neg \varphi_i$

Např. nahore uvedená funkce $f(x)$ je vyjádřitelná ve tvaru

$$\text{mult}(3, \varphi_0) + \text{mult}(5, \varphi_4) + \text{mult}(2, \text{mult}(\neg \varphi_0, \neg \varphi_4))$$

Funkce quo

$$\text{quo}(x, y) = \begin{cases} \text{celá část podílu } x/y & \text{je-li } y \neq 0 \\ 0 & \text{je-li } y = 0 \end{cases}$$

Tato funkce může být definována primitivní rekurzí:

$$\text{quo}(0, y) = 0$$

$$\text{quo}(x+1, y) = \text{quo}(x, y) + \text{eq}(x+1, \text{mult}(\text{quo}(x, y), y) + y)$$

Funkce mimo primitivní rekurzivní funkce

Existují funkce, které jsou vyčíslitelné a nejsou p.r. funkcemi. Jsou to všechny striktně parciální funkce (jako div), ale i totální funkce. Taková totální funkce byla prezentována W. Ackermannem (1928) a nazývá se Ackermannova funkce. Je dána rovnicemi:

$$\begin{aligned} A(0, y) &= y + 1 \\ A(x + 1, 0) &= A(x, 1) \\ A(x + 1, y + 1) &= A(x, A(x + 1, y)) \end{aligned}$$

VĚTA

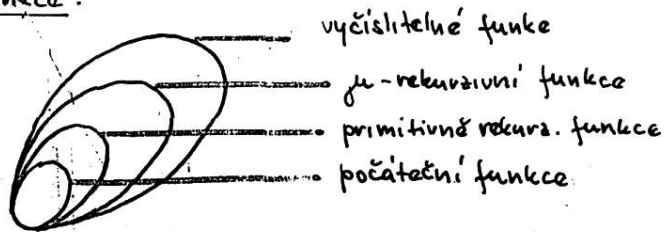
Existuje totální funkce $z \mathbb{N}$ do \mathbb{N} , která není prim. rekurzivní.

D. Definice funkcí, které jsou pr. rekurzivní, budeme chápat jako větězce a můžeme je uspořádat v lexikografickém pořadí s označením $f_1, f_2, \dots, f_n, \dots$

Definujeme nyní funkci $f: \mathbb{N} \rightarrow \mathbb{N}$ tak, že $f(n) = f_n(n) + 1$ pro v. $n \in \mathbb{N}$. f je jasně totální a vyčíslitelná. f však není primitivně rekurzivní (kdyby byla pak $f \equiv f_m$ pro nějaké $m \in \mathbb{N}$. Pak ale $f(m) = f_m(m)$ ale ne $f_m(m) + 1$ jak vyžadují definice funkce f).

Definice

Třída totálních vyčíslitelných funkcí se nazývá μ -rekurzivní funkce.



Parciálně rekurzivní funkce

K rozšíření třídy vyčíslitelných funkcí za totální vyčíslitelné funkce zavedeme techniku známou pod názvem minimalizace.

Tato technika umožňuje vytvořit funkci $f: \mathbb{N}^n \rightarrow \mathbb{N}$ z jiné funkce

$$g: \mathbb{N}^{n+1} \rightarrow \mathbb{N}$$

předpisem, v němž $f(\bar{x})$ je nejmenší y takové, že

$$(1) \quad g(\bar{x}, y) = 0$$

$$(2) \quad g(\bar{x}, z) \text{ je definována pro v. } z < y, z \in \mathbb{N}$$

Tuto konstrukci zapisujeme notací:

$$f(\bar{x}) = \mu y [g(\bar{x}, y) = 0]$$

Příklady:

- $f(x) = \mu y [\text{plus}(x, y) = 0]$ t.j. $f(x) = \begin{cases} 0 & \text{pro } x=0 \\ \text{nedef.} & \text{jinak} \end{cases}$
- $\text{div}(x, y) = \mu t [((x+1) \div (\text{mult}(t, y) + y)) = 0]$
- $i(x) = \mu y [\text{monus}(x, y) = 0]$ t.j. identická funkce

Funkce definovaná minimalizací je skutečně vyčíslitelná.

Výpočet hodnoty $f(\bar{x})$ zahrnuje výpočet $g(\bar{x}, 0), g(\bar{x}, 1), \dots$ tak dlouho, pokud nedostaneme $g(\bar{x}, y) = 0$, nebo $g(\bar{x}, z)$ je nedef.

Definice:

Třída parciálně rekurzivních funkcí je třída parciálních funkcí, které mohou být vytvořeny z počátečních funkcí aplikací kombinací, kompozicí, primitivní rekurzí a minimalizací

Turingovsky vyčísitelné funkce

Definice:

Turingův stroj $M = (Q, \Sigma, \Gamma, \delta, q_0, q_f)$ vyčísluje (počítá) p.funkci $f: \Sigma^* \rightarrow \Sigma_1^*$ ($\Sigma_1 \subseteq \Gamma, \Delta \notin \Sigma_1$), jestliže pro každé $(w_1, w_2, \dots, w_m) \in \Sigma^*$ a odpovídající poč. konfiguraci $\Delta w_1 \Delta w_2 \Delta \dots \Delta w_m \Delta \Delta \Delta$ stroj M

1. v případě, že $f(w_1, \dots, w_m)$ je definována, pak M zastaví a páska obsahuje $\Delta v_1 \Delta v_2 \Delta \dots \Delta v_n \Delta \Delta \Delta$, kde $(v_1, v_2, \dots, v_n) = f(w_1, \dots, w_m)$
2. v případě, že $f(w_1, \dots, w_m)$ není definována, M cykluje (nikdy nezastaví) nebo zastaví abnormálně.

Parciální funkce, kterou může počítat nějaký T. stroj se nazývá funkcí

Turingovsky vyčísitelnou.

Příklad:



T. stroj, který počítá funkci $f(w_1, w_2, w_3) = (w_1, w_3)$

2. Funkce $f(w) = \begin{cases} y & \text{jestliže } w \in L_0 \\ \text{nečet} & \text{jinak} \end{cases}$ (L_0 je jazyk z předch. odst.)

$g(x) = \begin{cases} 1 & \text{ji-li } w = \sigma(M) \text{ pro selfterminating stroj } M \\ 0 & \text{jinak} \end{cases}$

nejsou T. vyčísitelné funkce

Pozn.: Definice výpočtu funkce T. strojem nepředpokládala speciální pozici hlavy v konc. konfiguraci. Můžeme předpokládat, že M končí v konfiguraci $\Delta v_1 \Delta \dots \Delta v_n \Delta \Delta \Delta$ bez újmy na obecnosti.

Turingovská vyčísitelnost parciálně rekurzivních funkcí

Budeme uvažovat T. stroj s abecedou $\Sigma = \{0, 1\}$ a p.funkce tvaru $f: \mathbb{N}^m \rightarrow \mathbb{N}^n$. $m(n)$ -tice budeme kódovat podle vzoru:

$\Delta 11 \Delta 10 \Delta 100 \Delta \Delta$ reprezentuje trojici $(3, 2, 4)$

VĚTA

Každá parciálně rekurzivní funkce je Turingovsky vyčísitelná.
Důkaz: 1. Nejprve je třeba nalézt T. stroje, které vyčísluje počáteční

funkce ξ, σ, π .

a) $\xi: \rightarrow ROL$

b, c) - cvičení

2. Dále popíšeme konstrukci T. stroje pro aplikaci kombinace, kompozice, pr. rekurze a minimalizace

a) kombinace

Nechť T. stroj M_1 , resp. M_2 vyčísluje p.funkci g_1 , resp. g_2 . Stroj M , který vyčísluje $g_1 \times g_2$ bude 3-páskový T. stroj, který začne duplikováním vstupů na 2. a 3. pásku. Pak M simuluje M_1 s využitím pásky 2 a M_2 s použitím pásky 3. Skončí-li M_1 i M_2 řádně, M vyčísí pásku 1 a okopíruje na ní obsah pásek 2 a 3 (oddělených blankem) a zastaví.

b. kompozice

Funkci $g_1 \circ g_2$ realizuje stroj $\rightarrow M_1, M_2$

c. Primitivní rekurze

Uvažujme schema pr. rekurze

$$f(\bar{x}, 0) = g(\bar{x})$$

$$f(\bar{x}, y+1) = h(\bar{x}, y, f(\bar{x}, y))$$

kde g p. funkce, kterou vyčísluje stroj M_1 , a h parc. funkce, kterou vyčísluje stroj M_2 . Funkci f vyčísluje T. stroj, který pracuje takto:

- I. Je-li poslední složkou vstupu 0, pak vymaže tuto složku, vrátí hlavu na začátek a simuluje stroj M_1 .
- II. Není-li poslední složkou vstupu 0, pak páska musí obsahovat sekvenci

$$\Delta \bar{x} \Delta y+1 \Delta \Delta \Delta \quad \text{pro nějaké } y+1 > 0. \text{ Pak}$$

(α) S využitím stroje pro kopírování a dekrement (uz cvičení) transformuj obsah pásky na sekvenci

$$\Delta \bar{x} \Delta y \Delta \bar{x} \Delta y-1 \Delta \dots \Delta \bar{x} \Delta 0 \Delta \bar{x} \Delta \Delta$$

Pak přesuň hlavu bezprostředně za 0 a simuluj stroj M_1

(β) Nyní bude páska obsahovat

$$\Delta \bar{x} \Delta y \Delta \bar{x} \Delta y-1 \Delta \dots \Delta \bar{x} \Delta 0 \Delta g(\bar{x}) \Delta \Delta \quad \text{což je ekvivalentní}$$

$$\underline{\hspace{2cm}} \quad \text{což je ekvivalentní} \quad \underline{\hspace{2cm}}$$

$$f(\bar{x}, 0) \Delta \Delta$$

Přesuň hlavu před poslední \bar{x} a simuluj stroj M_2 . To vede k

$$\Delta \bar{x} \Delta y \Delta \bar{x} \Delta y-1 \Delta \dots \Delta \bar{x} \Delta 1 \Delta h(\bar{x}, 0, f(\bar{x}, 0)) \Delta \Delta \quad \text{což je ekvival.}$$

$$\underline{\hspace{2cm}} \quad \text{což je ekvival.} \quad \underline{\hspace{2cm}}$$

$$f(\bar{x}, 1) \Delta \Delta$$

(ρ) Pokračuj v aplikaci stroje M_2 na zbytek pásky už je M_2 aplikován na $\Delta \bar{x} \Delta y \Delta f(\bar{x}, y)$ a páska je zredukována do tvaru $\Delta h(\bar{x}, y, f(\bar{x}, y)) \Delta \Delta$, což je ekvivalentní žadanému výsledku $\Delta f(\bar{x}, y+1) \Delta \Delta$

d. minimalizace

Uvažujme funkci $\mu_y [g(\bar{x}, y) = 0]$, kde p. funkci g vyčísluje stroj M_1 , zkonstruujeme 3-páskový stroj M , který pracuje takto:

1. Zapiše 0 na pásku 2
2. Kopíruje obsah pásky 1 a následně pásky 2 na pásku 3
3. Simuluje stroj M_1 na páске 3
4. Jestliže páska 3 obsahuje 0, vymaže pásku 1, okopíruje pásku 2 na pásku 1 a zastaví. Jinak inkrementuje obsah na páске 2, vymaže pásku 3 a pokračuje krokem (2).

Reprezentace T. stroje parciálně rekurzivními funkcemi

abychom dokázali, že Turingova a Churchova téze jsou ekvivalentní, zbývá ukázat, že výpočetní síla T. stroje je omezena na možnost vyčíslovat parciálně rekurzivní funkce. K tomu účelu uvažujme T. stroj $M = (Q, \Sigma, \Gamma, \delta, q_0, q_f)$ a položíme $b = |\Gamma|$. Nyní budeme obsah pásky interpretovat jako v opačném pořadí zapsané nezáporné celé číslo při základu b .
 Např.: Bude-li $\Gamma = \{x, y, \Delta\}$ a interpretujeme-li $x \approx 1, y \approx 2, \Delta \approx 0$ (vždy) pak páska obsahující $\Delta y x \Delta \Delta y \Delta \Delta \dots$ je ekvivalentní 02100200... což po reverzi reprezentuje číslo ...00200120 při základu 3 a tedy 501.
 S touto interpretací můžeme činnost každého T. stroje chápat jako výpočet funkce $f: \mathbb{N} \rightarrow \mathbb{N}$, která číslu odpovídajícímu počátečnímu obsahu pásky „přivazuje“ číslo odpovídající obs. pásky po zastavení stroje. Charakter funkce f specifikují následující věta.

Každý výpočetní proces prováděný T. strojem je procesem vyčíslení nějaké parciálně rekurzivní funkce.

Důkaz:

Budeme vycházet z právě zavedené interpretace činnosti T. stroje M , t.j. pro každé $n \in \mathbb{N}$, $f(n)$ je definována obsahem pásky při zastavení stroje M . Dále provedeme zakódování stavů: $0 \approx q_0$, $1 \approx q_1$, ostatní stavy čísla $2, 3, \dots, k-1$ za předpokladu $|Q| = k$. Tedy jak stavy, tak symboly mají přiřazené num. hodnoty a můžeme definovat funkce, které sumarizují diagram přechodů stroje M' (M' je zakódovaný stroj M):

$$\text{mov}(p, x) = \begin{cases} 2 & \text{jestliže } \delta(p, x) = (*, R) \\ 1 & \text{jestliže } \delta(p, x) = (*, L) \\ 0 & \text{jinak} \end{cases}$$

$$\text{sym}(p, x) = \begin{cases} y & \text{jestliže } \delta(p, x) = (*, y) \\ x & \text{jinak} \end{cases}$$

$$\text{state}(p, x) = \begin{cases} q & \text{jestliže } \delta(p, x) = (q, *) \\ k & \text{jestliže } p = 0, \text{ nebo } \delta(p, x) \text{ není definováno} \end{cases}$$

Funkce sym , mov a state jsou tabulární funkce (totalní) a jsou tedy primitivně rekurzivní.

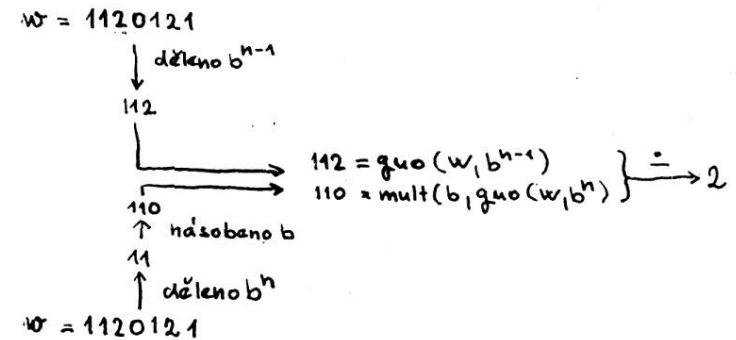
Nyní uvažujme konfiguraci T. stroje M' ve tvaru trojice (w, p, n)

kde w je obsah pásky, p přítomný stav, n pozice hlavy ($n \geq 1$, největší pozice je rovna 1)

z informace obsažené v konfiguraci může být vypočítán symbol, který se nachází pod hlavou, p.n. funkcí cursym :

$$\text{cursym}(w, p, n) = \text{quo}(w, b^{n-1}) \div \text{mult}(b, \text{quo}(w, b^n))$$

jak ilustruje násl. obrázek:



Obr. Nalezení n -té číslice řetězce $w = 1120121$ pro $n = 5$ a $b = 3$

Další funkce, které definujeme na množině konfigurací jsou:

$$\text{nexthead}(w, p, n) = n \div \text{eg}(\text{mov}(p, \text{cursym}(w, p, n)), 1) + \text{eg}(\text{mov}(p, \text{cursym}(w, p, n)), 2)$$

určující příští pozici hlavy (0 indikuje abnormální posuv z 1. pozice vlevo)

$$\text{nextstate}(w, p, n) = \text{state}(p, \text{cursym}(w, p, n)) + \text{mult}(k, \frac{1 \div 0}{\text{nexthead}(w, p, n)}) \quad \text{nexthead} = 0$$

(Normálně je 2. sčítanec roven 0; při abnormálním posuvu tato funkce vyčítá nelegální stav větší než $k-1$.)

4. konečné funkce

$$\text{nexttape}(w, p, n) = (w \div \text{mult}(b^n, \text{cursym}(w, p, n))) + \text{mult}(b^n, \text{sym}(p, \text{cursym}(w, p, n)))$$

kteřá vyčísluje celé číslo reprezentující nový obsah pásky, po provedení přechodu z konfigurace (w, p, n) .

Kombinací 3 předchozích funkcí dostaneme funkci (step), která modeluje 1 krok T. stroje, t.j. přechod do nové konfigurace:

$$\text{step} = \text{nexttape} \times \text{nextstate} \times \text{nexthead}$$

Nyní definujeme funkci $\text{run} : N^4 \rightarrow N^3$; $\text{run}(w, p, n, t)$ realizuje t přechodů z konfigurace (w, p, n) . Opět ušijeme pr. rekurze

$$\begin{aligned} \text{run}(w, p, n, 0) &= (w, p, n) \\ \text{run}(w, p, n, t+1) &= \text{step}(\text{run}(w, p, n, t)) \end{aligned}$$

Výstupní funkce vyčíslovaná strojem M' (při vstupu w) je hodnota pásky po dosažení koncového stavu (stavu 0). Počet požadovaných kroků stroje M je dán funkcí stoptime

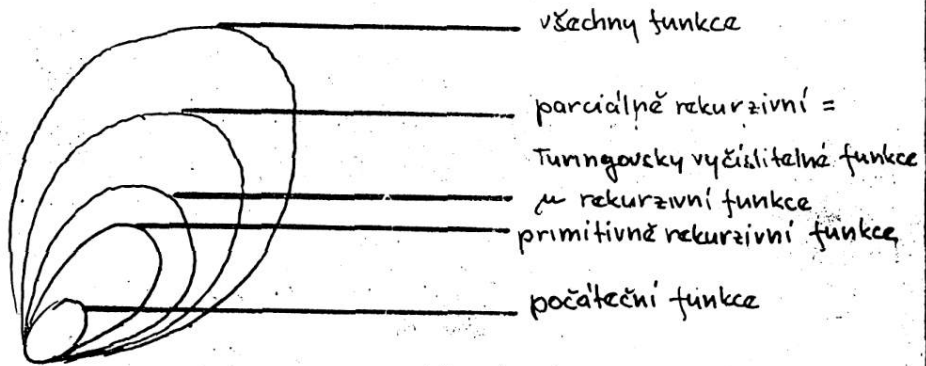
$$\text{stoptime}(w) = \text{jet}[\pi_2^3(\text{run}(w, 1, 1, t)) = 0]$$

Nadávěr tedy, je-li $f : N \rightarrow N$ p. funkce počítaná strojem M , pak

$$f(w) = \pi_1^3(\text{run}(w, 1, 1, \text{stoptime}(w)))$$

z jeje konstrukce plyne, že f je parciálně rekurzivní funkce.

Shrňme v obrázku získané informace:



všechny funkce

parciálně rekurzivní =

Turngovsky vyčísitelné funkce

μ rekurzivní funkce

primitivně rekurzivní funkce

počáteční funkce

Složitost problému

3

Složitost problému je složitost jeho nejjednoduššího řešení

Příklad: T. stroj pro srovnání 2 řetězců

↑ nemusí existovat

Orders (Orders) of Growth (Rychlosti růstu resp. řády složitosti)

Definice Necht \mathcal{F} je množina funkcí z \mathbb{N} do \mathbb{N} . Pro danou funkci $f \in \mathcal{F}$ definujeme množiny funkcí $O(f)$, $\Theta(f)$ a $\Omega(f)$ takto

$$O(f(n)) = \{g(n) \mid \text{existuje kladná konstanta } c \text{ a } n_0 \text{ takové, že} \\ 0 \leq g(n) \leq c \cdot f(n) \text{ pro vš. } n \geq n_0\}$$

$$\Theta(f(n)) = \{g(n) \mid g(n) \in \mathcal{F} \text{ a existují kladné konstanty } c_1, c_2 \text{ a } n_0 \text{ takové, že} \\ 0 \leq c_1 f(n) \leq g(n) \leq c_2 f(n) \text{ pro vš. } n \geq n_0\}$$

$$\Omega(f(n)) = \{g(n) \mid g(n) \in \mathcal{F} \text{ a existují kladné konstanty } c \text{ a } n_0 \text{ takové, že} \\ 0 \leq c \cdot f(n) \leq g(n) \text{ pro vš. } n \geq n_0\}$$

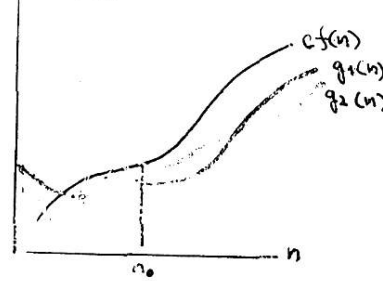
Množinu $O(f(n))$ nazýváme asymptotickým horním ohraničením funkce $f(n)$ (asymptotically upper bound),

$\Theta(f(n))$ - asymptotickým (oboustranným) ohraničením funkce $f(n)$ (asymptotically tight bound) a

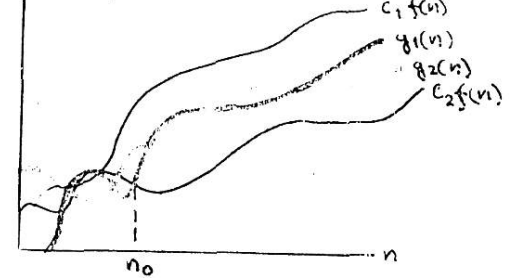
$\Omega(f(n))$ - asymptotickým dolním ohraničením funkce $f(n)$ (asymptotically lower bound)

Situaci ilustruje následující obrázek

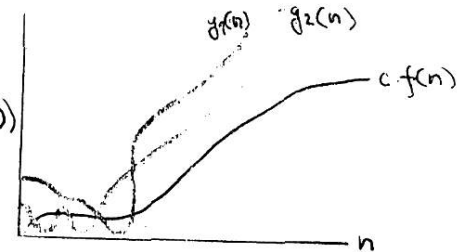
$$g_1, g_2 \in O(f(n))$$



$$g_1, g_2 \in \Theta(f(n))$$



$$g_1, g_2 \in \Omega(f(n))$$



VĚTA: Pro lib. 2 funkce $f(n)$ a $g(n) \in \mathcal{F}$ je $f(n) \in \Theta(g(n))$ právě když $f(n) \in O(g(n))$ a $f(n) \in \Omega(g(n))$.

D. Plyne z definice

VĚTA: Necht $p(n)$ je polynom stupně d . Pak $|p(n)| \in \Theta(n^d)$.

D. Čtení

Uvedené funkce nám dávají možnost vytvořit jisté klasifikační schéma založené na vln. inkluzi na množinách $\Theta(f(n))$

Čtenář: např. $\Theta(n^3) \subseteq \Theta(n^2)$, přičemž $\Theta(n^3) \not\subseteq \Theta(n^2)$, budeme problém se složitostí $\Theta(n^2)$ považovat za méně složitý než problém se složitostí $\Theta(n^3)$.

Omezení asymptotických odhadů

Koncept asymptotických odhadů složitosti byl a je úspěšně používán při klasifikaci složitosti číselných problémů a jejich tříd. Přesto však není zcela obecný a univerzální.

1. Existují problémy, pro které každé jejich řešení může být do nekonečna zlepšováno tak, že každé nové řešení padá do jiné třídy složitosti.

Tento výsledek je znám jako „Blum's speedup theorem“ a byl objeven

M. Blumem v r. 1967. Přesněji Blumův theorem říká:

Pro každou μ -rekurzivní funkci $g: \mathbb{N} \rightarrow \mathbb{N}$ existuje problém, pro který každé řešení s nějakou složitostí $t(n)$, může být zlepšeno tak, že nové řešení má složitost $g(t(n))$ skoro pro všechny hodnoty $n \in \mathbb{N}$.
(A v důsledku toho další řešení má složitost $g(g(t(n)))$ atd.)

Např., necht' g je funkce $\lfloor \log_2 \rfloor$. Podle tohoto výsledku lze problém se složitostí 2^n vylepšit na problém se složitostí n , ten pak na problém se složitostí $\log_2 n$ atd.

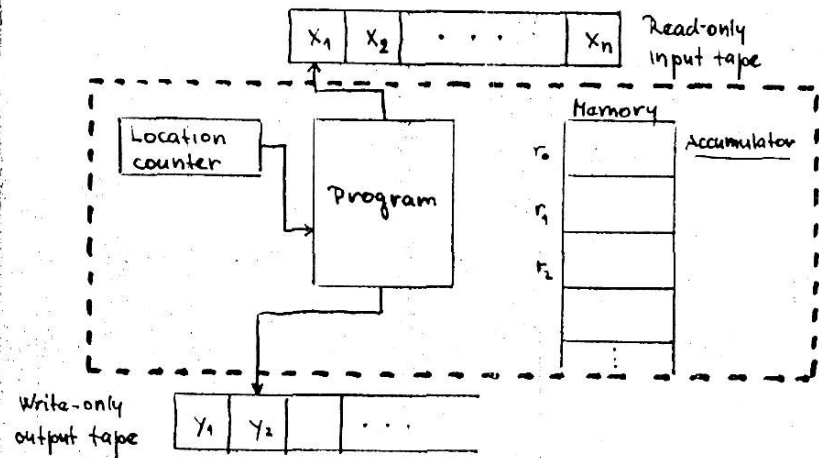
Současně známé problémy, na které lze aplikovat „vychytávací theorem“ nepřetvářejí například je rámec teoretické informatiky (namože praktické aplikace)

2. Největší nevýhodou klasifikace problémů podle asymp. ohraničení je jejich značná citlivost na „výpočetní prostředí“, t.j. značíme-li výpočetní systém, může složitost těchto problémů padnout do jiné třídy.

Příklad: lze dokázat, že složitost srovnávání 1-páskovým T. strojem je $O(n^2)$
Uvažujme však 2-páskový T. stroj!

Jiné modely výpočtu

1. Random access machine - RAM model



Instrukce: (volbu příjímá s r_0)

LOAD op. READ op.

STORE op. WRITE op.

ADD op. JUMP lab.

SUB op. JGTZ lab.

MULT op. JZERO lab.

DIV op. HALT

Operandy:

celočíslná (stejně jako x_i, y_i)

Typy adresování:

(a) literál (=5)

(b) přímá adresa (5)

(c) nepřímá adresa (*5)

2. Random access stored program machine - RASP model

Jde o stejný model jako RAM s tou odlišností, že program je uložen v paměti; není tudíž potřeba adresování typu (c) - program se může modifikovat

LEMA: Pro každý RAM program s časovou složitostí $T(n)$ existuje konst. k taková, že ekvivalentní RASP program má časovou složitost $k \cdot T(n)$.

Časová složitost problémů rozpoznávací jazyků

Definice:

Nechť T stroj M (jednoduchý nebo více páskový) vyčísľuje parciální funkci $f: \Sigma_1^* \rightarrow \Sigma_2^*$. Říkáme, že M vyčísľuje funkci f v polynomiálním čase, jestliže existuje polynom $p(x)$ takový, že pro každou řetězec $w \in \Sigma_1^*$, pro který je $f(w)$ definována, stroj M vyčísľí funkci f v nanejvýš $p(|w|)$ krocích. Funkci f pak nazýváme funkci vyčísľitelnou v polynomiálním čase.

VĚTA

Nechť f_1, f_2 jsou funkce vyčísľitelné v polynomiálním čase. Pak funkce $f_2 \circ f_1$ je rovněž vyčísľitelná v polynomiálním čase.

Důkaz:

Podle definice existuje T stroj M_1 , který vyčísľuje funkci $f_1(v)$ maximálně v $p_1(|v|)$ krocích a stroj M_2 vyčísľující $f_2(w)$ v maximálně $p_2(|w|)$ krocích. Stroj $\rightarrow M_1 M_2$, který vyčísľuje hodnotu $f_2 \circ f_1(v)$ pro lib. v , má následující složitost:

$$p_1(|v|) + p_2(p_1(|v|) + 1) \text{ kde:}$$

$p_1(|v|)$ je složitost vyčísľení funkce $f_1(v)$

$p_1(|v|) + 1$ maximální délka vstupu pro stroj M_2

$p_2(p_1(|v|) + 1)$ je složitost vyčísľení funkce f_2 aplikované na $f_1(v)$.

Výsledný výraz pro složitost kompozice funkcí je polynom.

S využitím tohoto výsledku lze dokázat větu:

Třída funkcí, které jsou vyčísľitelné více páskovými T stroji v polynomiálním čase, je stejná jako třída funkcí vyčísľitelných v polyn. čase 1-páskovými T stroji.

Třída P

Definice:

Vechť M je T stroj a $L = L(M)$ jazyk, který tento stroj přijímá. Říkáme, že M přijímá jazyk L v polynomiálním čase, jestliže existuje polynom $p(n)$ takový, že pro každé $w \in L$ je počet kroků (přechodů) potřebných k přijetí řetězce w , nanejvýš roven číslu $p(|w|)$. Třída všech jazyků, které lze přijímat T stroji v polynomiálním čase definujeme jako třidu P.

Pozn.

Následující tabulka ilustruje rozdíl mezi polynomiální a exponenciální složitostí pro T stroje M resp. M' , které přijímají jazyk se složitostí $|w|^2$ resp. $2^{|w|}$.
 $w \in L, |w| = n$.

	n^2	2^n
$n = 10$.0001 sec	.0001 sec
20	.0004 sec	1.05 sec
30	.0009 sec.	17.92 minut
40	.0016 sec	12.74 dnů
50	.0025 sec	35.75 roků
60	.0036 sec.	36.6 století
70	.0048 sec.	374.8 milionů let

1 krok \approx 1 mikrosekunda

VĚTA:

Jestliže T stroj přijímá jazyk L v polynomiálním čase, pak existuje jiný T stroj, který přijímá L rovněž v polynomiálním čase a navíc indikuje přijetí řetězce konc. obsahem pásky $\Delta Y \Delta \Delta \Delta$.

Důkaz: cvičení

VĚTA: Necht' L je jazyk, který je přijíman víceprvkovým T. strojem v polynomiálním čase. Pak L patří do třídy P .

Důkaz: Necht' f je funkce: $f(w) = \begin{cases} Y, & \text{jestliže } w \in L \\ \text{nedef.}, & \text{jestliže } w \notin L \end{cases}$

Pozn.: Robustnost třídy P

Jazyky rozhodnutelné v polynomiálním čase

Definice: zřejmá

Otázka: V jakém vztahu jsou jazyky přijímané T. strojem v polyn. čase a jazyky rozhodnutelné T. strojem v polynom. čase?

VĚTA: Jestliže jazyk L může být přijat T. strojem v polynomiálním čase, pak existuje T. stroj, který rozhoduje jazyk L v polynomiálním čase.

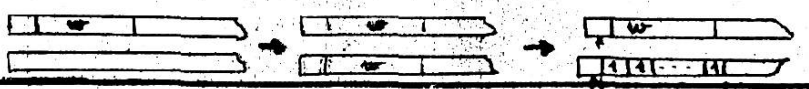
Důkaz: Předpokládejme, že T. stroj M přijímá jazyk L nepřípustí abnormální zastavení. Pokud ano, provedeme transformaci pásky a přech. funkce:



Existuje polynom $p(n)$, který ohraničuje počet kroků $p(|w|)$ stroje M při přijetí řetězce w .

Nyní vytvoříme 2-páskový T. stroj M' , který bude rozhodovat jazyk L v polynomiálním čase. M' bude kompozicí strojů M_1 a M_2 .

1. Stroj M_1 okopíruje vstupní řetězec w na pásku 2 a pak ho nahradí řetězcem $\uparrow p(|w|)$.



Lze rigorózně dokázat, že stroj M_1 pracuje v polynomiálním čase.

2. M_2 bude simulovat činnost stroje M s těmito modifikacemi:

Po každém provedení kroku M posune hlavu na 2. pásku o 1 buňku doprava. Jestliže dosáhne konc. stavu M , pak stroj M_2 končí a na 1 pásku bude $\Delta Y A A A$. Jestliže však dříve dosáhne na 2. pásku blank, pak M_2 končí s obsahem 1. pásky $\Delta N A A A$. Zřejmě i stroj M_2 pracuje v polynomiálním čase a tudíž $\rightarrow M_1, M_2$ rozhodují jazyk L v polynom. čase.

Pozn.: Rozhodovací problémy (decision problems) řešitelné v polynomiálním čase

Třída P obsahuje všechny rozhodovací problémy, které mohou být řešeny T. strojem v polynomiálním čase.

Časová složitost nedeterministických strojů

Definice: Řekneme, že nedeterministický T. stroj M přijímá jazyk $L = L(M)$

v polynomiálním čase, jestliže existuje polynom $p(x)$ takový, že pro každý řetězec $w \in L$ může M přijmout w v maximálně $p(|w|)$ krocích.

Třidu NP definujeme jako třídu jazyků, které mohou být přijímány nedeterministickým T. strojem v polynomiálním čase.

Zřejmě platí: $P \subseteq NP$

$P \stackrel{?}{=} NP$

- je stále otevřený problém

Deterministické výpočty v polyn. čase

řešitelné rozhodovací problémy = rozhodnutelné jazyky = jazyky přijímané T. strojem

Neklas. výpočty v polynom. čase

řešitelné rozhodovací problémy = rozhodnutelné jazyky = jazyky přijímané T. strojem

Polynomiální redukce (polynomiální transformace)

Definice:

Polynomiální redukce (z) jazyka L_1 nad abecedou Σ_1 na jazyk L_2 nad abecedou Σ_2 je funkce $f: \Sigma_1^* \rightarrow \Sigma_2^*$, pro kterou platí:

$$(a) \text{ pro v\u0161. } w \in \Sigma_1^* : w \in L_1 \Leftrightarrow f(w) \in L_2$$

(b) f je Turingovsky v\u010d\u00edsliteln\u00e1 v polynomi\u00e1ln\u00edm \u010das\u011b.

Existuje-li polynomi\u00e1ln\u00ed redukce jazyka L_1 na L_2 , říkáme, \u017ee L_1 se redukuje na L_2 a p\u00ed\u0161eme $L_1 \leq L_2$.

V\u011bt\u00e1:

J\u011bz-li $L_1 \leq L_2$ a L_2 je ve t\u0159id\u011b P , pak L_1 je ve t\u0159id\u011b P .

D\u00falek:

Nechť M_1 je T. stroj, který provád\u00ed redukci f jazyka L_1 na L_2 a nechť $p(x)$ jeho \u010dasov\u00e1 slo\u017eitost. Pro lib $w \in L_1$ v\u017cy\u010d\u00e1t $f(w)$ vy\u017eaduje nanejv\u00ed $p(|w|)$ krok\u016f a produkuje v\u00fdstup maxim\u00e1ln\u00ed d\u011blky $p(|w|) + |w|$.

Nechť M_2 p\u0159ijm\u00e1 jazyk L_2 v polynom. \u010das\u011b dan\u00e9m polynomem $g(x)$.

Uva\u017eujme T. stroj, kter\u00fd vznikne kompozici $\rightarrow M_1 M_2$. Tento stroj p\u0159ijm\u00e1 jazyk L_1 tak, \u017ee pro ka\u017ed\u00e9 $w \in L_1$ ud\u011bl\u00e1 stroj $\rightarrow M_1 M_2$

maxim\u00e1ln\u011b $p(|w|) + g(p(|w|) + |w|)$ krok\u016f, co\u017e je polynom ve $|w|$ a tedy L_1 k\u011bz\u00ed ve t\u0159id\u011b P .

P\u0159\u00edklad:

Funkce $f: \{x, y\}^* \rightarrow \{x, y, z\}^*$ definovan\u00e1 jako $f(v) = vzv$ je polynom. redukci jazyka $L_1 = \{w \mid w \text{ je palindrom nad } \{x, y\}\}$ na jazyk $L_2 = \{wzww^R \mid w \in \{x, y\}^*\}$.

P\u0159edchoz\u00ed v\u011bt\u00e1 n\u00e1m d\u00e1v\u00e1 praktickou mo\u017einost jak uk\u00e1zat, \u017ee

ur\u00e1it\u00fd jazyk je ve t\u0159id\u011b P . Nav\u00edc, p\u0159eformulujeme-li tuto v\u011btu takto:

„Jestli\u017ee plat\u00ed $L_1 \leq L_2$ a L_1 nek\u011bz\u00ed v P , pak L_2 tak\u011b nek\u011bz\u00ed v P “, m\u016fžeme dokazovat, \u017ee ur\u00e1it\u00fd jazyk nek\u011bz\u00ed v P .

Cook\u00edv theorem

Cook\u00edv theorem stanovuje „reprezentativn\u00ed“ NP probl\u00e9m.

Probl\u00e9m splnitelnosti - SAT problem (SATisfiability problem):

Nechť $V = \{v_1, v_2, \dots, v_n\}$ je kone\u010dn\u00e1 množina Boolovsk\u00fdch prom\u011bn\u00fdch (prvotn\u00edch formul\u00ed v\u017cyr. po\u010dtu)

Litarem nazveme ka\u017edou prom\u011bnou v_i nebo j\u00ed\u010d negaci \bar{v}_i .

Klausuli nazveme v\u017cyr. formul\u00ed obsahuj\u00edc\u00ed pouze liter\u00e1l\u00edj spojine v\u017cyr. spojkou \vee (nebo)

P\u0159\u00edklad klausul\u00ed: $v_1 \vee \bar{v}_2$

$$v_2 \vee v_3$$

$$\bar{v}_1 \vee \bar{v}_3 \vee v_2$$

SAT-probl\u00e9m lze formulovat takto:

J\u011bz d\u00e1na množina prom\u011bn\u00fdch V a množina klausul\u00ed nad V , je tato množina klausul\u00ed splniteln\u00e1?

Ka\u017ed\u00fd konkr\u00e9tn\u00ed SAT-probl\u00e9m m\u016fžeme zak\u00f3dovat jedin\u00fdm r\u011bt\u011bzecem takto:

Nechť $V = \{v_1, v_2, \dots, v_m\}$, ka\u017ed\u00fd liter\u00e1l v_i zabodujme r\u011bt\u011bzecem d\u011blky m , kter\u00fd obsahuj\u00ed sam\u00e9 0 s v\u00fdjimkou i -t\u00e9 pozice, kter\u00e1 obsahuj\u00e9 symbol p_i , jde-li o liter\u00e1l v_i , nebo m_i , j\u00e1k\u011bzli o liter\u00e1l \bar{v}_i . Klausul\u00ed reprezentujeme

seznamem zakódovaných literálů, oddělených symbolem / . SAT-problem

bude seznam klauzulí uzavřených v aritm. zdvořkách

Příklad:

SAT-problem obsahuje proměnné v_1, v_2, v_3 a klauzule

$v_1 \vee \bar{v}_2$; $v_2 \vee v_3$; $\bar{v}_1 \vee \bar{v}_3 \vee v_2$

bude reprezentován řetězcem:

(p00/0n0)(0p0/00p)(n00/00n/0p0)

Označme L_{SAT} jazyk obsahující řetězce tohoto typu, které reprezentují splnitelné množiny klauzulí. Ordinační řetězec (např.) je prvkem L_{SAT}

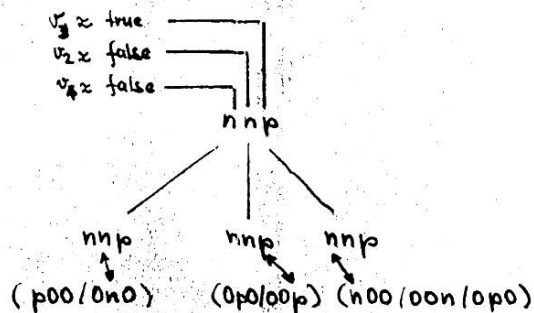
$(v_1=F, v_2=F, v_3=T)$, na rozdíl od řetězce $(p00/0p0)(n00/0p0)(p00/0n0)(n00/0n0)$ který je kódem nespjitelné mn. klauzulí $v_1 \vee v_2$; $\bar{v}_1 \vee v_2$; $v_1 \vee \bar{v}_2$; $\bar{v}_1 \vee \bar{v}_2$

Přirazení pravd. hodnot budeme reprezentovat řetězcem z $\{p, n\}^+$, kde

p v i -té pozici představuje přiřazení $v_i \approx true$ a

n — — — — — $v_i \approx false$

Tak test, zda určité ohodnocení je modelem množiny klauzulí (množina klauzulí je pro toto ohodnocení splněna), je velmi jednoduché a ilustrují ho obrázek:



kódované klauzule

Na uvedeném principu můžeme zkonstruovat nedeterministický

T. stroj, který přijímá jazyk L_{SAT} v polynom. čase. zvolíme 2-pásmový T. stroj který:

1. začíná kontrolou, zda vstup reprezentuje množinu klauzulí
2. na 2. pásmu nagenaruje řetězec z $\{n, p\}^m$ nedeterministickým způsobem
3. posouvá hlavu na 1. pásmo a testuje, zda pro dané ohodnocení (na 2. pásmu) je množina klauzulí splnitelná

Tento proces může být snadno implementován s polynom. složitostí přijetí v závislosti na délce ^{vst.} řetězce a tedy $L_{SAT} \in NP$.

VĚTA (Cookův teorém):

Je-li L lib. jazyk z NP , pak $L \leq L_{SAT}$.

Důkaz: Protože $L \in NP$, existuje nedeterm. Turingův stroj M a polynom $p(n)$

tak, že pro každé $w \in L$ stroj M přijímá w v maximálně $p(|w|)$ krocích

Jádrem důkazu tvoří konstrukce polynom. redukce f z L na L_{SAT} ;

Pro každý řetězec $w \in L$ bude $f(w)$ množina klauzulí, které jsou splnitelné právě když M přijímá w .

NP-úplné jazyky

Po objevu Cookova teorému se ukázalo, že mnoho dalších NP jazyků má vlastnost podobnou jako L_{SAT} , t.j. jsou polynom. redukcemi ostatních NP jazyků. Tyto jazyky se nazývají NP-úplné (NPcomplete) jazyky. kdyby se ukázalo, že lib. z těchto jazyků je v P , pak by muselo platit $P=NP$; naopak, důkaz, že některý z nich není mimo P by znamenal $P \subsetneq NP$.

Význačné NP-úplné problémy

Definice: Necht $\vec{G} = (H, U, \sigma)$ je orientovaný graf.

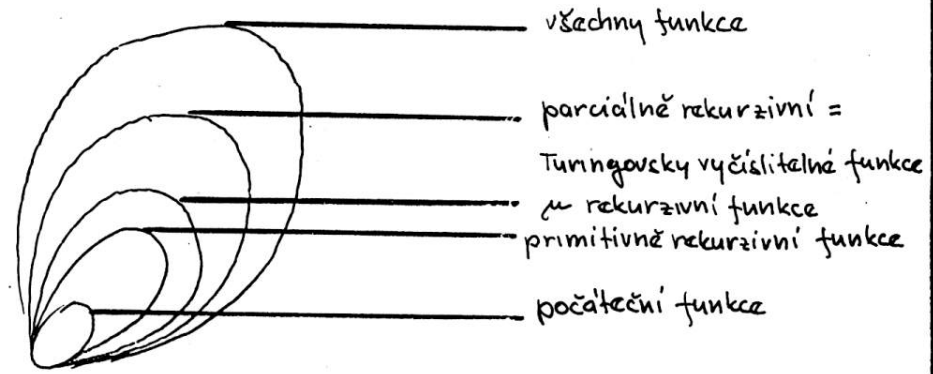
1. zpětnovazebná množina vrcholů (feedback vertex set) je podmnožina $S \subseteq U$ taková, že každý cyklus grafu \vec{G} obsahuje nějaký vrchol z S .
2. zpětnovazebná množina hran (feedback edge set) je podmnožina $F \subseteq H$ taková, že každý cyklus v \vec{G} obsahuje nějakou hranu z F .

VĚTA: Následující problémy jsou NP-úplné problémy:

1. (Satisfiability) Je boolovský výraz splnitelný?
2. (Clique) Obsahuje neor. graf kliku velikosti k ?
3. (Vertex cover) Má neorient. graf dominantní množinu mohutnosti k ?
4. (Hamilton circuit) Má neor. graf Hamiltonovskou kružnici?
5. (Colorability) Má neorientovaný graf chromatické číslo k ?
6. (Feedback vertex set) Má orientovaný graf zpětnovazebnou množinu vrcholů mohutnosti k ?
7. (Feedback edge set) Má orientovaný graf zpětnovazebnou množinu hran mohutnosti k ?
8. (Directed Hamilton circuit) Má orient. graf Hamiltonovský cyklus?
9. (Set cover) Je dána třída množin S_1, S_2, \dots, S_n . Existuje podtřída k množin $S_{i_1}, S_{i_2}, \dots, S_{i_k}$ taková, že

$$\bigcup_{j=1}^k S_{i_j} = \bigcup_{j=1}^n S_j$$
10. (Exact cover) Je dána třída množin S_1, S_2, \dots, S_n . Existuje množinové pokrytí (set cover) tvořené podtřídou po dvojicích disjunktivních množin?

Shrňme v obrázku získané informace:



Vyčíslitelnost a programovací jazyky

Trivializovaný programovací jazyk (Barz-Bones Programming Languages)

zavedeme maximálně zjednodušený programovací jazyk PL_{BB} s následujícími

výrazovými prostředky:

Datové struktury: jednoduché proměnné typu integer označované identifikátory

Příkazy:

- (a) incr name; name je identif. proměnné typu integer
- (b) decr name;
- (c) while name \neq 0 do
- ⋮
- end;

VĚTA

Každá primitivně rekurzivní funkce může být naprogramována v jazyce PL_{BB} a každý program v PL_{BB} popisuje primitivně rekurzivní funkci.

Důkaz: Cvičení

ACKERMANN FUNCTION (1928)

$$A(x, y) = y + 1$$

$$A(x, 0) = A(x-1, 1)$$

$$A(x, y) = A(x-1, A(x, y-1))$$

x\y	0	1	2	3	4	5	6	7
0	1	2	3	4	5	6	7	8
1	2	3	4	5	6	7	8	9
2	3	5	7	9	11	13	15	17
3	5	13	29	61	125	253	509	1021

x\y	8	9	10	11	12	13	14	15
0	9	10	11	12	13	14	15	16
1	10	11	12	13	14	15	16	17
2	19	21	23	25	27	29	31	33
3	2045	4093	8189	16381	32765	65533	131069	262141

x\y	16	17	18	19	20	21	22	23
0	17	18	19	20	21	22	23	24
1	18	19	20	21	22	23	24	25
2	35	37	39	41	43	45	47	49
3	1524285	1048573	2897149	4194301	16388605	16777213	133554429	167108861

x\y	24	25	26	27	28	29	30	31
0	25	26	27	28	29	30	31	32
1	26	27	28	29	30	31	32	33
2	51	53	55	57	59	61	63	65
3	1134217725	268435453	536870909	1073741821	2147483645			

x\y	0	1	2	3	4	5	6	7	
0	1	2	3	4	5	6	7	8	
1	2	3	4	5	6	7	8	9	
2	3	5	7	9	11	13	15	17	
3	5	13	29	61	125	253	509	1021	
4	13	65533	*****						
5	65533								

Lemma 1

Parciálne rekurzívne funkcie jsou programovateľné ve skelitovém jazyku.

Důkaz

Konvence: Pro výpočet funkce $f: \mathbb{N}^m \rightarrow \mathbb{N}^n$ budeme používat identifikátory x_1, x_2, \dots, x_m pro vstřední vstupních hodnot a identifikátory z_1, z_2, \dots, z_n pro vstřední výstupních hodnot funkce f .

A) Počítací funkce:

- ξ se počítá programem `clear zi;`
- σ - - - - - `z1 ← x1;`
`incr z1;`
- \prod_j^m - - - - - `z1 ← xj;`

B) Primitivně rekurzívne funkce

- Kombinace $f: \mathbb{N}^k \rightarrow \mathbb{N}^m$ $g: \mathbb{N}^k \rightarrow \mathbb{N}^m$
 programy F G
 F má vstředí $x_1 \dots x_k$ a výstředí $z_1 \dots z_m$
 G - - - $x_1 \dots x_k$ - - - $z_{m+1} \dots z_{m+m}$
 F rekurzivně $x_1 \dots x_k$, G rekurzivně $z_1 \dots z_m$
 $f \times g$ se počítá programem F
 G

Zkratkly (nabra) :

clear name;

while name $\neq 0$ do

 decr name;

end;

name 1 \leftarrow name 2

clear aux;

clear name 1;

while name 2 $\neq 0$ do

 incr aux;

 decr name;

end;

while aux $\neq 0$ do

 incr name 1;

 incr name 2;

 decr aux;

end;

Necht program \exists počítač parci. rez. fci $h: \mathbb{N}^k \rightarrow \mathbb{N}^k$.
Klein-li X a \exists zpracování, program nikdy nestane
a tedy počítač parci. rez. fci. Jinak, uzavřeme fci

$$f(\bar{x}, 0) = \text{ident}(\bar{x})$$

$$f(\bar{x}, g+1) = h(f(\bar{x}, g))$$

kteří odpovídá g -násobnému provedení cyklu.
Počet operací je

$$g \cdot \left[\prod_{j=1}^k \text{of}(\bar{x}, g) = 0 \right]$$

Cyklus while $x \neq 0$ do B end tedy počítač fci
 $g: \mathbb{N}^k \rightarrow \mathbb{N}^k$ definovanou takto:

$$g(\bar{x}) = f(\bar{x}, g \cdot \left[\prod_{j=1}^k \text{of}(\bar{x}, g) = 0 \right]).$$

A to je parciální rez. fci.

Lemma 2

Funkce programovatelné ve ketatovém jazyce jsou parciálně rekurzivní.

Důkaz

Ka-li program k proměnných, počítá f :

$$f: \mathbb{N}^k \rightarrow \mathbb{N}^k.$$

4) Obsahuje-li program 1 příkaz, jen 3 možnosti:

`incr`, `decr` - primitivně rekurzivní

`while name ≠ 0 do`
`end`

počítá f $f(\text{name}) = \begin{cases} 0 & \text{if name} = 0 \\ \text{nedefinováno jinak} \end{cases}$

kteřá je ekvivalentní

$$\text{je } \{ \text{plus}(\text{name}, g) = 0 \}$$

3) Předpokládáme, že program o $n-1$ příkazech počítá parciálně rekurzivní f . Uvažujeme program o n příkazech.

Ten vznikne $\left\langle \begin{array}{l} \text{zvětšením dvou parametrů programu} \quad (1) \\ \text{rozšířením příkazem } \text{while} \quad (2) \end{array} \right.$

V příkazu (1) jde o kompozici funkcí.

V příkazu (2) uvažujeme program

`while x ≠ 0 do`

`B`

`end;`

Registr	Obsah	Význam	
100	3	} STORE 1	úschova akumulátoru
101	1		
102	1		
103	$r+i$	} LOAD $r+i$	obsah RAM registru i
104	5		
105	r	} ADD $=r$	inkrementace čísla registru
106	3		
107	111	} STORE 111	modifikace instrukce SUB
108	1		
109	1	} LOAD 1	obnova akumulátoru
110	6		
111	-	} SUB b	b je obsah RAM registru i (je to číslo registru s operandem)

Simulace SUB x_i v RASP.

Každá RAM instrukce tedy vyžaduje maximálně 6 RASP instrukcí. Při uniformním cenovém kritériu je tedy časová složitost RASP programu maximálně $6T(n)$.

Obdobně lze analýzou simulace nepřímého adresování při logaritmičtém cenovém kritériu zjistit, že časová složitost RASP programu je maximálně $f(r)T(n)$, přičemž $f(r)$ je pro daný program konstanta. □

Podobná věta platí i obráceně. Její důkaz se opírá o simulaci RASP programu pomocí RAM. RAM čte program z registru a na základě jejího obsahu simuluje odpovídající RASP instrukce.

Složitost RASP programů

Lze použít $\left\{ \begin{array}{l} \text{uniformní cenové kritérium} \Rightarrow \text{jako RAM} \\ \text{logaritmické e.k.} \Rightarrow \text{je třeba vzít u vřahu} \\ \text{četní instrukcí.} \end{array} \right.$

Například, je-li $\text{ADD } =i$ umístěna v registrech j a $j+1$, cena této instrukce je $l(j) + l(c(0)) + l(i)$. [Uvažujeme $l(j) + l(j+1) \sim l(j)$]

Věta. Pro každý RAM program s čas. složitostí $T(n)$ existuje konstanta k taková, že ekvivalentní RASP program má čas. složitost $k \cdot T(n)$, a to jak pro uniformní, tak i pro logaritmické cenové kritérium.

Důkaz. Ukažeme simulaci RAM programu P pomocí RASP programu P_S :

- (1) Registr 1 RASP bude sloužit k přechodnému uschování akumulátoru RAM
- (2) P_S obsadí $r-1$ registrů RASP (r závisí na P)
- (3) $\forall i, i \geq 1$: obsah RAM registru i bude uložen v RASP registru $r+i$.
- (4) Každá RAM instrukce bez nepřímé adresy je mapována přímo do odpovídající RASP instrukce (s inkrementovanými odkazy na registry).
- (5) Každá RAM instrukce s nepřímou adresou je mapována do sekvence 6-ti RASP instrukcí, které simulují nepřímé adresování pomocí modifikace instrukcí.

Logaritmické prostorová složitost RAM programu je definována jako

$$\sum_{\substack{i: \\ i \in (0; \infty)}} l(x_i), \text{ kde } x_i \text{ je největší číslo, které se v průběhu výpočtu vyskytne v registru } r_i$$

Je jasné, že program může mít radikálně rozdílné složitosti pod uniformním a logaritmickým cenovým kritériem.

Uniformní cenové kritérium má opodstatnění v případě, kdy každé číslo, které se zpracovává, je umístěno v 1 slově počítače. Jinak (obecně) je realističtější logaritmické cenové kritérium.

Stroj RASP (random access stored program machine)

Vypadá podobně jako RAM, ale program je umístěn v registrech. Každá instrukce obsahuje 2 registry:

OPCODE	ADDR
--------	------

 Operční kód kóduje instrukci a typ adresování ($i, =i$).

Pozn.: x_i není třeba, da' se objevit modifikací programu.

Pozn.: STORE, READ, JUMP, JGTZ, JZERO nepřipouštějí adresu $=i$ (literál).

Programový čítač je nastavený na určitý registr. Po provedení instrukce se jeho hodnota zvýší o 2 nebo se nasten' podle operandů skokových instrukcí.

Složitost RAM programů

A. Uniformní cenové kritérium

Každá RAM instrukce vyžaduje 1 jednotku času, každý registr vyžaduje 1 jednotku prostoru.

B. Logaritmické cenové kritérium

Definujeme $l(i)$

$$l(i) = \begin{cases} \lfloor \log |i| \rfloor + 1 & \text{pro } i \neq 0 \\ 1 & \text{pro } i = 0 \end{cases}$$

Předpokládáme, že pro reprezentaci čísla n je potřeba $\lfloor \log |n| \rfloor + 1$ bitů. Protože číslo n může být libovolně velké, nelze ho zpracovat naráz, a tedy časová složitost (cena) přečtení operandu instrukce závisí na jeho hodnotě (počtu bitů):

Operand a	Cena $t(a)$
$=i$	$l(i)$
i	$l(i) + l(c(i))$
$*i$	$l(i) + l(c(i)) + l(c(c(i)))$

$l(i)$ časová složitost čtení registru

Příklady operací a jejich cen:

ADD i	$l(c(0)) + l(i) + l(c(i))$
ADD $*i$	$l(c(0)) + l(i) + l(c(i)) + l(c(c(i)))$
STORE i	$l(c(0)) + l(i)$
STORE $*i$	$l(c(0)) + l(i) + l(c(i))$

C) Parciální redukcí fáze - minimalizace

$g: \mathbb{N}^{n+1} \rightarrow \mathbb{N}$... program G

$$g(x) [g(x, y) = 0]$$

\leftarrow počítá programem

clear $x_{k+1};$

G

while $z_1 \neq 0$ do

 iner $x_{k+1};$

 G

end;

$z_1 \leftarrow x_{n+1};$

2. Kompozice

$$f: \mathbb{N}^k \rightarrow \mathbb{N}^l \quad g: \mathbb{N}^l \rightarrow \mathbb{N}^m$$

F má vstup $x_1 \dots x_k$ a výstupy $y_1 \dots y_l$
 G --- $z_1 \dots z_l$ --- $z_1 \dots z_m$

$f \circ g$ je počítač. programem F
 G

3. Primitivní rekurence

$$g: \mathbb{N}^k \rightarrow \mathbb{N}^m \quad h: \mathbb{N}^{k+m+1} \rightarrow \mathbb{N}^m$$

$f: \mathbb{N}^{k+1} \rightarrow \mathbb{N}^m$ definované primitivní rekursí

$$f(\bar{x}, 0) = g(\bar{x})$$

$$f(\bar{x}, y+1) = h(\bar{x}, y, f(\bar{x}, y))$$

je počítač. programem

```
G
aux ← x_{k+1};
clear x_{k+1};
while aux ≠ 0 do
  x_{k+2} ← z_1;
  x_{k+3} ← z_2;
  -----
  x_{k+m+1} ← z_m;
H
incr x_{k+1};
decr aux;
end;
```

n -krokový RAM program (bez vstupu) je schopen počítat číslo 2^{2^n} :

$$x := 2$$

$$x := x * x$$

n -krát

$$x = 2, 4, 16, 256, \dots$$

T. stroj potřebuje 2^n buněk pásky (bitů) jen k uložení takového čísla. K jeho přečtení je třeba 2^n kroků T.s., což exponenciálně převyšuje počet kroků RAM.

Pro uniformní e.k. tedy neexistuje polynomiální vazba mezi T.s. a RAM.

Ale pro logaritmičtější e.k. platí:

Věta. RAM a RASP pod logaritmičtým cenovým kritériem a Turingův stroj jsou polynomiálně vázané modely.

Důkaz. Lze ho někde najít...

Definice. Funkce $f_1(n)$ a $f_2(n)$ jsou polynomiálně vázane, existují-li polynomy $p_1(x)$ a $p_2(x)$ takové, že pro všechny hodnoty n je $f_1(n) \leq p_1(f_2(n))$ a $f_2(n) \leq p_2(f_1(n))$.

Příklad: (1) $f_1(n) = 2n^2$, $f_2(n) = n^5$ jsou polynomiálně vázane, protože: $p_1(x) = 2x \Leftrightarrow 2n^2 \leq 2n^5$, $p_2(x) = x^3 \Leftrightarrow n^5 \leq (2n^2)^3$.
 (2) n^2 a 2^n nejsou polyn. vázane, protože neexistuje $p(x)$ takový, že $p(n^2) \geq 2^n$, $\forall n$.

Souvislost Turingových strojů a RAM (RASP)

1. Simulace Turingova stroje pomocí RAM:

i -tá buněk j -tá páska k -páskového T. stroje je uložena v registru $ki + j + e$, kde e je konstanta určující počet pomocných registrů (obsahují mj. police klau atd...).

Nechť program T. stroje má složitost $T(n) \geq n$. RAM může přečíst vstup, uložit ho do registrů a simulovat T. s. v čase $O(T(n))$ v případě uniformního een.kr., resp. v čase $O(T(n) \log T(n))$ pro logaritmičeské e.k. Obecně je tedy horní ohraničení času simulace T. s. $O(T^2(n))$.

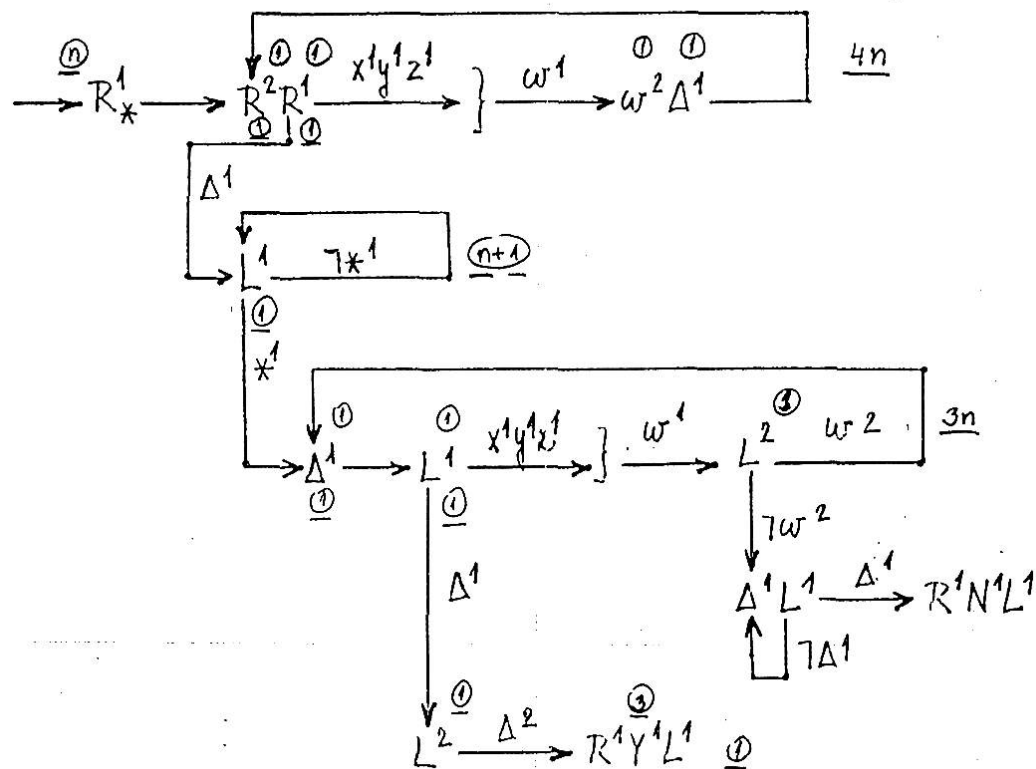
2. Simulace RAM pomocí Turingova stroje

Problém je v uložení čísel, které musí respektovat konečnou páskovou abecedu.

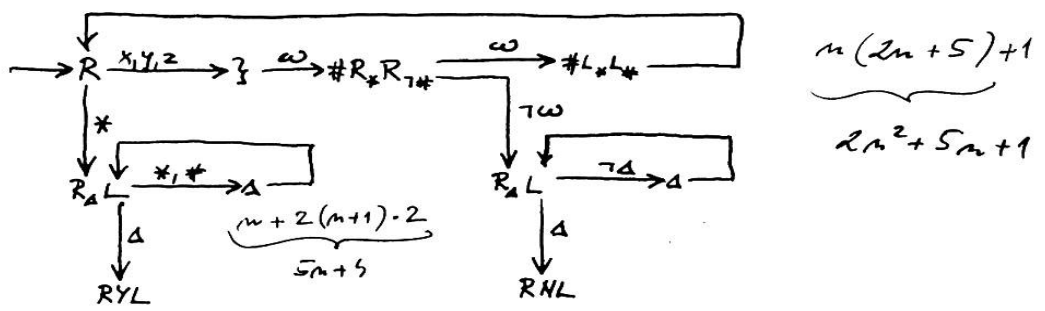
V nejhorším případě (řetězce jsou identické) stroj provede $9n+11$ kroků.

Časová složitost problému v kontextu 2-páskových Turingových strojů:

$$\Theta(n)$$



$$1 + 1 + (n+1) + \frac{1}{2}(n+1) \quad \text{5}$$



TS pro srovnání řetězů stejné délky, celková kvadratická
(Δ N * W A)

- Nejhorší případ (shodné řetězce):
- $2n^2 + 10n + 9$... srovnání řetězů
 - $+ 5n + 5$... posuv hlavy na zač. a uzavření
 - $+ 3$... zápis Y
 - $+ 1$... příchod do koneč. stavu

Přímek z shodných symbolů: $n(2n+5) + 6n + 10$
 Nejlepší případ: $6n + 10$

Algoritmus je možné zrychlit srovnáním většího počtu symbolů najednou.

```

void insertSort (int *a, int n)
{
    int i, j, x;
    for (i=1; i < n; i++)           (n-1) krát
    {
        x = a[i];
        j = i;
        while (j > 0 && a[j-1] > x)   1+2+...+n-1
        {
            a[j] = a[j-1];          průměr = (1+(n-1))/2 = n/2
            j--;
        }
        a[j] = x;
    }
}
    
```

Střední složitost algoritmu je $(n-1) \cdot \frac{n}{2} = \frac{n^2 - n}{2} \in O(n^2)$
 součet řady

Příklad: program InsertSort (inout: List; in: ListLength)

```
var PivotPosition, I: integer;  
    Pivot: ListEntryType;
```

```
begin
```

```
  if (ListLength ≥ 2) then
```

```
    begin
```

```
      PivotPosition := 2;
```

```
      repeat repeat *(n-1)-krát
```

```
      Pivot := List[PivotPosition];
```

```
      I := PivotPosition;
```

```
      while *(I > 1 and List[I-1] > Pivot) (I > 1 and List[I-1] > Pivot) do
```

```
        begin
```

```
          List[I] := List[I-1];
```

```
          I := I-1;
```

```
        end
```

```
      List[I] := Pivot;
```

```
      PivotPosition := PivotPosition + 1;
```

```
    until (PivotPosition > ListLength);
```

```
  end;
```

```
end.
```

nejhorší případ:
opačně seřazený
seznam

n ... počet položek seznamu

počet opakování cyklu: $1+2+\dots+n-1 = \frac{1+(n-1)}{2} \cdot n = \frac{n}{2}$
while

časová složitost ~ (repeat * while) ~ $(n-1) \cdot \frac{n}{2} \sim n^2 - n$
~ $O(n^2)$